



ΑΡΙΣΤΟΤΕΛΕΙΟ ΠΑΝΕΠΙΣΤΗΜΙΟ ΘΕΣΣΑΛΟΝΙΚΗΣ
ΠΟΛΥΤΕΧΝΙΚΗ ΣΧΟΛΗ
ΤΜΗΜΑ ΗΛΕΚΤΡΟΛΟΓΩΝ ΜΗΧΑΝΙΚΩΝ ΚΑΙ ΜΗΧΑΝΙΚΩΝ ΥΠΟΛΟΓΙΣΤΩΝ

ΤΙΤΛΟΣ

Διδακτορική Διατριβή

του

Αλεξάνδρου Φιλοθέου του Χρήστου

ΔΙΠΛΩΜΑΤΟΥΧΟΥ ΗΛΕΚΤΡΟΛΟΓΟΥ ΜΗΧΑΝΙΚΟΥ ΚΑΙ ΜΗΧΑΝΙΚΟΥ ΥΠΟΛΟΓΙΣΤΩΝ

ΑΡΙΣΤΟΤΕΛΕΙΟΥ ΠΑΝΕΠΙΣΤΗΜΙΟΥ ΘΕΣΣΑΛΟΝΙΚΗΣ

ΚΑΙ

ΜΕΤΑΠΤΥΧΙΟΥΧΟΥ ΗΛΕΚΤΡΟΛΟΓΟΥ ΜΗΧΑΝΙΚΟΥ

ΒΑΣΙΛΙΚΟΥ ΙΝΣΤΙΤΟΥΤΟΥ ΤΕΧΝΟΛΟΓΙΑΣ ΣΤΟΚΧΟΛΜΗΣ

που εκπονήθηκε ως μερική εκπλήρωση των απαιτήσεων για την απονομή του τίτλου του

Διδάκτορα Μηχανικού

Επιβλέπων

Γεώργιος Δ. Σεργιάδης

Καθηγητής

Συμβουλευτική Επιτροπή

Τραϊανός Β. Γιούλτσας

Καθηγητής

Ανδρέας Λ. Συμεωνίδης

Αναπληρωτής Καθηγητής

Η κύρια αιτία των προβλημάτων είναι οι λύσεις.

—Έρικ Σέβαράιντ

Περίληψη

Abstract

Περιεχόμενα

I	Εισαγωγή	1
1	Περιγραφή του πεδίου εφαρμογής	3
1.1	Ρομποτική κινητής βάσης	5
1.1.1	Θεμελιώδεις λειτουργίες	5
1.1.2	Πηγές και κύριοι τρόποι αντίληψης του περιβάλλοντος	7
1.1.3	Τρέχουσα κατάσταση και Προκλήσεις	11
1.2	Απαραίτητες έννοιες	11
1.2.1	Εκτιμητέο διάνυσμα κατάστασης	11
1.2.2	Τα δύο κύρια προβλήματα εκτίμησης στάσης	12
1.2.3	Το φίλτρο σωματιδίων	13
1.2.4	Ο αισθητήρας lidar δισδιάστατων μετρήσεων	15
1.2.5	Ευθυγράμμιση σαρώσεων lidar	16
1.2.6	Ευθυγράμμιση σαρώσεων lidar με σαρώσεις χάρτη	18
1.2.7	Το λειτουργικό σύστημα ρομπότ ROS	21
2	Οδικός χάρτης	23
2.1	Οδικός χάρτης	23
3	Επισκόπηση των ερευνητικών περιοχών	29
3.1	Αυτόνομη Πλοήγηση και ROS	29
3.1.1	Αλγόριθμοι κατασκευής μονοπατιών	30

3.1.2	Ελεγκτές κίνησης	32
3.1.3	Αυτόνομη πλοήγηση στο ROS	34
3.2	smsm	37
3.3	sm	37
3.4	Global localisation	37
3.5	fmt in robotics	37
4	Συμβολές και Διάρθρωση της διατριβής	39
4.1	Συμβολές της διατριβής	39
4.2	Διάρθρωση	39
II	Προβλήματα—Λύσεις—Συμβολές	41
III	Συμπεράσματα	43
	Αναφορές	45

Μέρος Ι

Εισαγωγή

Κεφάλαιο 1

Περιγραφή του πεδίου εφαρμογής

Η ρομποτική είναι η επιστήμη της αντίληψης και του χειρισμού του φυσικού κόσμου μέσω συσκευών που ελέγχονται από υπολογιστές [TBF05]. Ως επιστήμη συμβάλλεται από τους κλάδους του αυτομάτου ελέγχου, της επιστήμης των υπολογιστών, των μαθηματικών, και ως πράξη από την επιστήμη της φυσικής, της τεχνολογίας υλικών, της τεχνολογίας λογισμικού, και της ηλεκτρονικής. Το φυσικό αντικείμενο της ρομποτικής είναι το ρομποτό: μία τεχνητή σύνθεση αντλούσα πληροφορίες από το φυσικό περιβάλλον μέσω αισθητήριων συσκευών, επενεργούσα σε αυτό μέσω φυσικών δυνάμεων, αποτελούμενη κατ' ελάχιστον από κινητήρες, τερματικά, υπολογιστικά συστήματα, λογισμικό, και πηγή ενέργειας. Η μορφή της χρήσης των ρομπότ είναι πρόσθετική:¹ πολλαπλασιάζουν τις επιχειρησιακές ενέργειες του ανθρώπου διαιρώντας την απαιτούμενη προσπάθεια για την επίτευξη των σκοπών του και κατανέμοντάς την σε μη ανθρώπινους δράστες της βούλησής του. Στη σημερινή εποχή επικουρούν, συνεργούν, ή επιχειρούν εξ ολοκλήρου στους τομείς της κατασκευής [Wan+19], πλανητικής εξερεύνησης [Wil+18], γεωργίας [VKA19; NB11], απομαχρυσμένης ιατρικής πράξης [SCD20], μεταφοράς αγαθών και ανθρώπων [DB16; Lim+18; Sim+19], συνεχούς απογραφής αγαθών σε αποθήκες [Dim+21], καθαρισμού και απολύμανσης χώρων [KSL20], και αλλού [smp21; rev22; Che+21; NH08]. Σκοπός του ανθρώπου όσο αφορά στα ρομπότ είναι (α) η αντικατάστασή του ατόμου του από αυτά με στόχο την απελευθέρωσή του από τα τετριμμένα, χρονοβόρα, ή επικίνδυνα έργα τα οποία έχει αυτοεπωμιστεί και (β) η ανάπτυξη τους ώστε να αποκτήσει

¹πρόσθετικός: ο διατεθειμένος να προσθέσει, ο παρέχων πρόσθετον δύναμιν [LSK07]

τη δυνατότητα να πατήσει στους ώμους γιγάντων με στόχο τις δικές του επιδιώξεις. Η επιταχυνόμενη, εξαπλούμενη, και θεμελιωμένη χρήση της αυτοματικής λογικής που γέννησε τη ρομποτική έχει εκτρέψει αυτές τις αντικειμενικές επιδιώξεις με αποτέλεσμα την αυτονόμηση τους: ο οριακός σκοπός της αυτοματοποίησης είναι σήμερα η παράδοση των διαδικασιών που εμπλέκουν οργανικά τον άνθρωπο, ει και όπου δυνατόν, στον κόσμο των αυτοματοποιημάτων.

Προς το παρόν, και σε συνάφεια με το πεδίο εφαρμογής της παρούσας διατριβής, το περιεχόμενο αντικείμενο της ρομποτικής ταξινομείται σε τέσσερις τάξεις:

- ρομπότ των οποίων το σώμα μπορεί να κινηθεί ως μία μονάδα στο σύνολό του στο χώρο (ρομποτική κινητής βάσης) ή ρομπότ των οποίων μόνο μέρη έχουν τη δυνατότητα κίνησης στο χώρο (π.χ. βραχίονες)
- ρομπότ τα οποία δρουν αυτόνομα, χωρίς την ανάγκη για είσοδο από άνθρωπο (π.χ. αυτόνομη οδήγηση) ή ρομπότ των οποίων η δράση ορίζεται από ανθρώπινες εντολές (π.χ. ως μέσα εξουδετέρωσης εκρηκτικών μηχανισμών). Αυτή η τάξη διακρίνεται σε βαθμίδες αυτονομίας [BFR14]
- ρομπότ τα οποία έχουν τη δυνατότητα κίνησης στη γη, τον αέρα, ή τη θάλασσα
- ρομπότ εσωτερικού ή εξωτερικού χώρου

Πεδίο Εφαρμογής ΠΕ. Το πεδίο εφαρμογής της παρούσας διατριβής είναι η ρομποτική αυτόνομης επίγειας κινητής βάσης εσωτερικού χώρου.

Πιο συγκεκριμένα: το μεγαλύτερο μέρος της διατριβής αφορά στην επίλυση προβλημάτων τα οποία είναι ανεξάρτητα από το βαθμό αυτονομίας, ενώ σε όλες τις συνθήκες προϋποτίθεται ότι το ρομπότ επιχειρεί εντός κλειστού (από όλες τις έξι πλευρές) χώρου. Η τελευταία προϋπόθεση-παραδοχή είναι κύριας σημασίας:

Παραδοχή Ι. Ο περιβάλλον χώρος είναι επιδεκτικός αίσθησης ως πλήρως οριοθετημένος, και κάθε πληροφορία που αποτελεί είσοδο (ή προϊόν επεξεργασίας της) των υπολογιστικών συστημάτων του ρομπότ προέρχεται αποκλειστικά από ίδια μέσα του ρομπότ και από την επίδραση του με τα όρια του χώρου—: το σύστημα ρομποτο-περιβάλλον χώρος είναι κλειστό.

Παρατήρηση I. Αυτό σημαίνει ότι η μοντελοποίηση του κόσμου και η αυτο-αντίληψη του ρομπότ πηγάζουν από τους δικούς του (πεπερασμένους) πόρους.

Η παρούσα διατριβή εστιάζει στο πεδίο εφαρμογής ΠΕ λόγω του διαρκώς αυξανόμενου ενδιαφέροντος στην έρευνα αυτόνομων επίγειων οχημάτων, η οποία εφορμάται από την τρέχουσα και προβλεπόμενη διάχυση τους σε (κρίσιμους και μη) τομείς της παγκόσμιας ανθρώπινης δραστηριότητας. Σκοπός της είναι η επίλυση τρέχοντων προβλημάτων του πεδίου εφαρμογής, τα οποία απαντώνται τόσο στην ερευνητική βιβλιογραφία όσο και στην ερευνητική πράξη. Σημείο εκκίνησής της είναι η έρευνα πάνω στην αυτόνομη πλοήγηση επί του πρακτέου. Από εκεί, βάσει μίας κρίσιμης παρατήρησης, ξεκινάει να εστιάζει στο πρόβλημα της εύρεσης της στάσης ενός ρομπότ στο χώρο, με βάσει παραδοχές και περιορισμούς που προσδιορίζονται από πραγματικές συνθήκες και επιδιώξεις και οι οποίες ποικίλουν ανάλογα με αυτές. Σε αυτό το κεφάλαιο ορίζεται η ρομποτική κινητής βάσης (ενότητα 1.1) ... ??

1.1 Ρομποτική κινητής βάσης

Ο όρος “ρομποτική κινητής βάσης” αναφέρεται σε ρομπότ τα οποία έχουν τη δυνατότητα κίνησης στο περιβάλλον τους, σε αντίθεση με εκείνα των οποίων η βάση είναι πακτωμένη σε μία συγκεκριμένη θέση του χώρου. Ως εκ τούτου η έρευνα αυτού του τομέα ασχολείται με όλα εκείνα τα προβλήματα που απορρέουν από την πλοήγηση ενός ρομπότ από μία θέση σε μία άλλη.

1.1.1 Θεμελιώδεις λειτουργίες

Το πρόβλημα της πλοήγησης διακρίνεται σε βαθμούς αυτονομίας. Κάθε επόμενη βαθμίδα αυτονομίας αφομοιώνει μία ανεξάρτητη μεταβλητή προηγούμενης βαθμίδας ως μία προς υπολογισμό, την οποία εξαρτά από τον αρχικό στόχο. Η αυτονομία πλοήγησης ξεκινάει από την τυχαία κίνηση στο χώρο με εντολές κίνησης υπολογιζόμενες από το ρομπότ, στην παρακολούθηση προκαθορισμένων τροχιών, ύστερα στην αυτόνομη χάραξη τροχιών προς προκαθορισμένους στόχους και την αυτόνομη παρακολούθηση των τροχιών, και καταλήγει στην αυτόνομη πλοήγηση με αυτόνομη επιλογή σημείων-στόχων.

Κοιτώντας την μη-τετριμμένη αυτόνομη πλοήγηση από το επίπεδο της επιφάνειας απαιτείται κατ' ελάχιστον η γνώση δύο μεταβλητών: του στόχου προς τον οποίο το ρομπότ θα κινηθεί και η τρέχουσα θέση του. Αυτές οι αθώες μεταβλητές ανοίγουν την πόρτα σε ένα σύμπαν προβλημάτων μερικών από των οποίων τη λύση αποπειράται η παρούσα διατριβή.

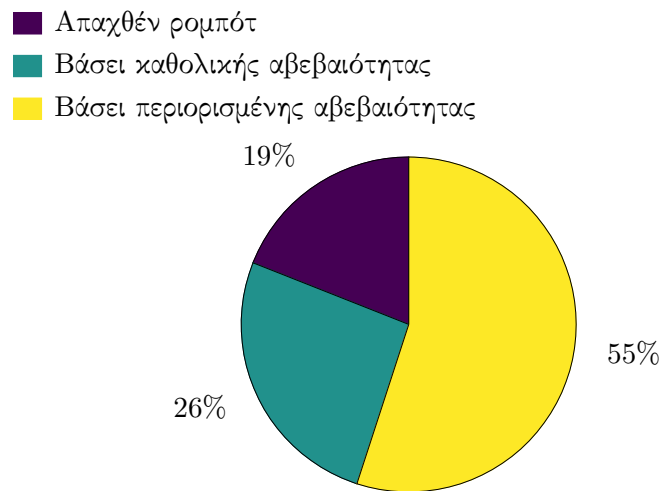
Για τον ακριβή προσδιορισμό ενός σημείου στο φυσικό χώρο απαιτείται αυτός ο χώρος να φέρει σύστημα συντεταγμένων, και κατά συνέπεια να είναι μετρικός. Έπειτα, με γνώμονα την ασφάλεια του ρομπότ και του περιβάλλοντός του, το ρομπότ πρέπει να έχει γνώση των κατειλημμένων και μη σημείων από εμπόδια σε αυτό το σύστημα. Από αυτές τις αιτίες προκύπτει η ανάγκη για την αναπαράσταση του περιβάλλοντος με τη μορφή μετρικού χάρτη. Εν γένει το σύστημα συντεταγμένων και ο χάρτης θα πρέπει να εφευρεθούν επί τούτου για κάθε περιβάλλον καθώς στη γενική περίπτωση τα αρχιτεκτονικά σχέδια χώρων δεν είναι γνωστά. Από αυτή την απαίτηση προκύπτει το πρόβλημα του SLAM (Simultaneous Localisation and Mapping), δηλαδή της ταυτόχρονης κατασκευής χάρτη και εύρεσης της στάσης ενός ρομπότ σε αυτόν.

Κατά συνέπεια η γνώση μιας οποιασδήποτε θέσης στο φυσικό χώρο μεσολαβείται από τη γνώση της στο χάρτη του, στο οικείο του σύστημα αναφοράς. Δεδομένου του χάρτη ενός χώρου ένα ρομπότ μπορεί να προσδιορίσει τη θέση του σε αυτόν χρησιμοποιώντας τους αισθητήρες του, αντιπαραβάλλοντας μετρήσεις από αυτούς με εικονικές μετρήσεις από κάποια υπόθεση-εκτίμηση για τη θέση του στο χάρτη. Το πρόβλημα της εύρεσης της θέσης ενός ρομπότ στο χάρτη είναι θεμελιώδους σημασίας στη ρομποτική κινητής βάσης, και διακρίνεται σε τριών ειδών προβλήματα (σχήμα 1.1 [PB21]):

- Εύρεση της θέσης βάσει καθολικής αβεβαιότητας (Global Localisation)
- Εύρεση και παρακολούθηση της θέσης βάσει περιορισμένης αβεβαιότητας (Pose Tracking)
- Ανίχνευση απαγωγής ρομπότ και εύρεση της νέας θέσης του (Kidnapped Robot Problem)

Παρατήρηση II. Λόγω της παραδοχής I η θέση του ρομπότ δεν είναι μετρήσιμη αλλά παρατηρήσιμη.

Στο μεγαλύτερο της μέρος η παρούσα διατριβή εστιάζει στα δύο πρώτα προβλήματα, των οποίων η λύση απαιτείται στην πράξη σε κάθε σύστημα με πεδίο εφαρμογής ΠΕ που ικανοποιεί την παραδοχή I.



Σχήμα 1.1: Κατάτμηση του προβλήματος της εύρεσης θέσης σε κατηγορίες και τα ποσοστά έρευνας σε αυτές

Δεδομένης της γνώσης του χάρτη του περιβάλλοντος στο οποίο κινείται ένα ρομπότ κινητής βάσης, της αρχικής και της επιθυμητής του θέσης, ενός αλγορίθμου παρακολούθησης της θέσης του (pose tracking), και αισθητήρων για την αντίληψη του περιβάλλοντος, στη γενικότερή του μορφή το πρόβλημα της αυτόνομης πλοήγησης είναι επιλύσιμο. Για την επίλυσή του απαιτούνται δύο μέθοδοι:

- Ένας αλγόριθμος χάραξης μονοπατιού που συνδέει την αρχική με την τελική του θέση (Path Planning)
- Ένας ελεγκτής κίνησης του ρομπότ για την παρακολούθηση του παραπάνω μονοπατιού (Motion Controller)

1.1.2 Πηγές και κύριοι τρόποι αντίληψης του περιβάλλοντος

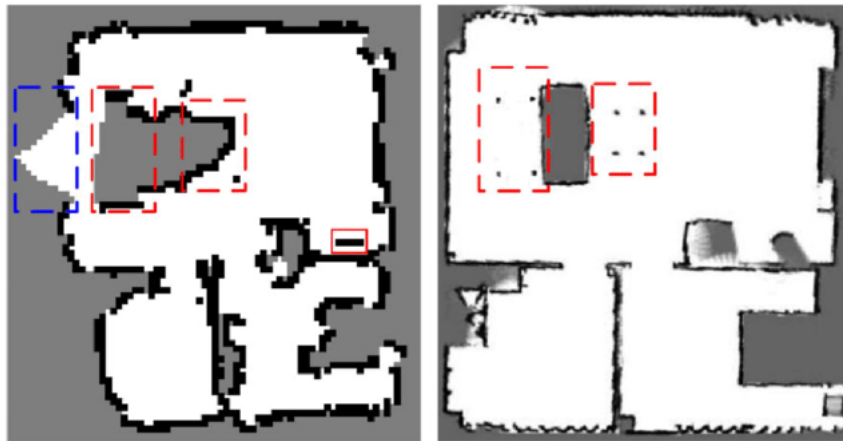
Η επιτυχής λύση του προβλήματος της αυτόνομης πλοήγησης προϋποθέτει την ύπαρξη και χρήση εξωδεκτικών αισθητήρων. Χωρίς αυτούς τα προβλήματα των οποίων η λύση είναι αναγκαία για την αυτόνομη πλοήγηση (κατασκευή χάρτη, εύρεση και παρακολούθηση της θέσης του ρομπότ) δεν είναι επιλύσιμα. Για την αντίληψη των ορίων (επιφάνειες-εμπόδια) του περιβάλλοντος χρησιμοποιούνται αισθητήρες με ποικίλα χαρακτηριστικά, ανάλογα με τα χαρακτηριστικά του περιβάλλοντος και την αντικειμενική επιδίωξη της χρήσης ρομπότ κινητής βάσης. Όσο τα χρόνια περνούσαν και η τεχνολογία υλικών εκλεπτυνόταν, μαζί της εξελίσ-

σονταν και οι παραπάνω αλγόριθμοι, οξύνοντας την ακρίβεια εκτίμησης της αναπαράστασης του περιβάλλοντος χώρου και της θέσης ενός ρομπότ σε αυτό, ή παρέχοντας περισσότερη και πλουσιότερη πληροφορία για το περιβάλλον.

Τα πρώτα χρόνια της ρομποτικής χρησιμοποιούνταν αισθητήρες υπερήχων (sonar), εκκινώντας από την ανίχνευση εμποδίων στη γειτονιά ενός ρομπότ. Η τεχνολογία ήταν εκεί λόγω εκτεταμένης χρήσης τους σε στρατιωτικές επιχειρήσεις, και το κόστος τους ήταν χαμηλό. Η αρχή λειτουργίας τους βασίζεται στην εκτίμηση αποστάσεων προς τα γύρω εμπόδια μέσω της μέτρησης του χρόνου εκπομπής υπερήχων προς και ανάκλασης από αυτά. Αν και χρησιμοποιούνται μέχρι και σήμερα, η χρήση τους περιορίζεται στην ανίχνευση αντικειμένων σε χαμηλές αποστάσεις λόγω της αδρής λεπτομέρειας των μετρήσεών τους, το περιορισμένο τους γωνιακό πεδίο όρασης, και το εγγενές πρόβλημα της αμφισημίας των μετρήσεών τους λόγω των πολλαπλών διαδοχικών ενδεχόμενων ανακλάσεων του ήχου σε τρίτες επιφάνειες.

Την ίδια αρχή λειτουργίας εκμεταλλεύονται οι αισθητήρες lidar (σύντμηση του Light και Radar ή αλλιώς Light Detection and Ranging) χρησιμοποιώντας, αντί για ήχο, φως υπέρυθρης, ορατής, ή υπεριώδους ακτινοβολίας. Διακρίνονται σε αισθητήρες που αποτυπώνουν αποστάσεις σε εμπόδια του περιβάλλοντός τους σε ένα επίπεδο (δισδιάστατες μετρήσεις) ή σε πολλαπλά επίπεδα γύρω από αυτό (τρισδιάστατες μετρήσεις). Οι αισθητήρες LIDAR υστερούν σε κόστος, μέγεθος, και συχνότητα μετρήσεων σε σχέση με τους αισθητήρες υπερήχων, αλλά εμφανίζουν σημαντικά μεγαλύτερο εύρος όρασης (έως 360°), τόσο γωνιακά όσο και ακτινικά, και ακρίβεια μετρήσεων που μπορεί να φτάσει την τάξη των μερικών εκατοστών. Η διαφορά της ακρίβειάς των μετρήσεών τους ως προς την κατασκευή χάρτη με τη χρήση τους αποτυπώνεται στο σχήμα 1.2.

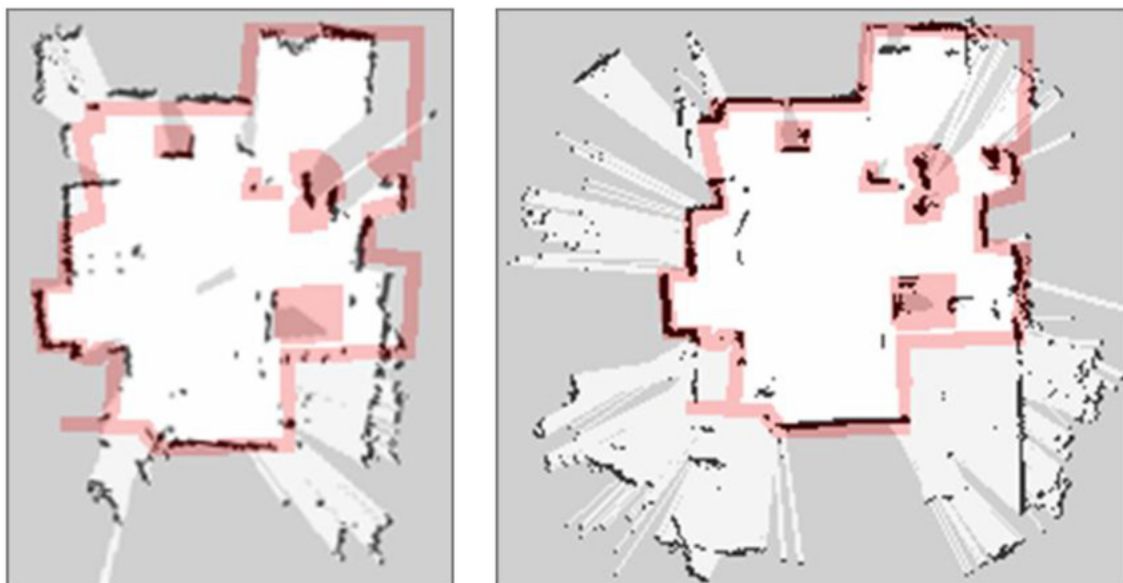
Η ανάπτυξη της τεχνολογίας αισθητήρων εικόνας και η βελτίωση της ποιότητάς τους τους κατέστησε και πηγές εξωδεκτικών μετρήσεων στη ρομποτική. Το σημαντικό τους πρότερημα είναι η χρωματική πληροφορία του περιβάλλοντος, το μεγάλο οριζόντιο και κάθετο εύρος όρασής τους, και ο υψηλός ρυθμός ανανέωσης των μετρήσεών τους. Η εφεύρεση των αισθητήρων εικόνας και βάθους (RGBD, ή η χρήση στερεοειδών συστημάτων) εισάγει την επιπρόσθετη πληροφορία κατάληψης σημείων στον τρισδιάστατο χώρο από εμπόδια, αλλά ταυτόχρονα επιφέρει χαμηλότερες συχνότητες ανανέωσης αξιοποιήσιμης πληροφορίας λόγω του αυξημένου όγκου της χωρικής πλέον πληροφορίας. Λόγω του μεγάλου όγκου πληροφορίας που φέρουν απαιτούν αντίστοιχους υπολογιστικούς πόρους, οι οποίοι στα πλαίσια του πε-



Σχήμα 1.2: Αριστερά: διδιάστατος χάρτης από μετρήσεις αισθητήρα τύπου sonar. Δεξιά: χάρτης του ίδιου χώρου από μετρήσεις αισθητήρα τύπου lidar σε δύο διαστάσεις [Qi+20]. Τα χρωματισμένα περιγράμματα περικλείουν περιοχές τις οποίες ο αισθητήρας sonar απέτυχε να χαρτογραφήσει με πιστότητα προς το πραγματικό περιβάλλον

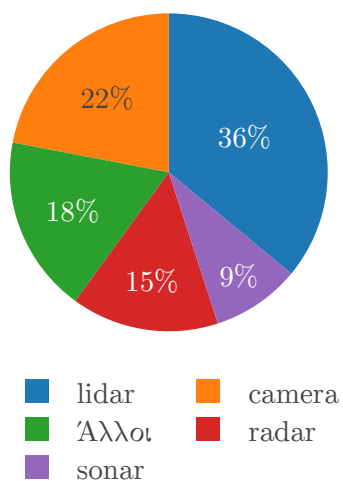
δίου εφαρμογής ΠΕ ενδέχεται να μην είναι διαθέσιμοι. Σε αντίθεση με τους προηγούμενους αισθητήρες εξαρτώνται από τις συνθήκες φωτισμού του χώρου στον οποίο λειτουργούν και συνεπώς η ποιότητα των μετρήσεων είναι ευμετάβλητη. Σε σχέση με τους αισθητήρες lidar εμφανίζουν σημαντικά περιορισμένο γωνιακό εύρος όρασης, ακρίβεια μετρήσεων που φθίνει τετραγωνικά σε σχέση με την απόσταση μέτρησης (αντί για γραμμικά όπως στους αισθητήρες lidar), και περιοχές μη αξιοποιήσιμων μετρήσεων λόγω σκιών που παράγονται ως συνέπεια της αρχής λειτουργίας τους [MDM14]. Η διαφορά της ακρίβειάς των μετρήσεών τους ως προς την κατασκευή χάρτη με τη χρήση τους αποτυπώνεται στο σχήμα 1.3.

Λόγω της μεγάλης τους μετρητικής ακρίβειας, της πυκνής τους γωνιακής δειγματοληψίας, του ικανού ρυθμού ανανέωσης μετρήσεων, του ευρύτατου πεδίου οράσεώς τους, του μέτριου κόστους τους, και του γεγονότος ότι ο όγκος των μετρήσεών τους είναι κατά κύριο λόγο επεξεργάσιμος σε πραγματικό χρόνο (απαιτητέο από την επίλυση της πλειονότητας των προβλημάτων της υποενότητας 1.1.1), οι αισθητήρες τύπου lidar έχουν προκριθεί στη θέση των αισθητήρων εκ των ων ουκ άνευ όσο αφορά σε εφαρμογές αυτόνομους πλοήγησης, κατασκευής χάρτη, και εύρεσης της θέσης ενός ρομπότ, στο πεδίο εφαρμογής ΠΕ που ικανοποιούν την παραδοχή I. Οι ίδιες αρετές τους έχουν καταστήσει ηγέτες στην ευρύτερη αγορά αισθητήρων για ρομποτικές εφαρμογές όπου επιζητείται επιπρόσθετη αντίληψη που να υπηρετεί σκοπούς αυτονομίας (σχήμα 1.4).

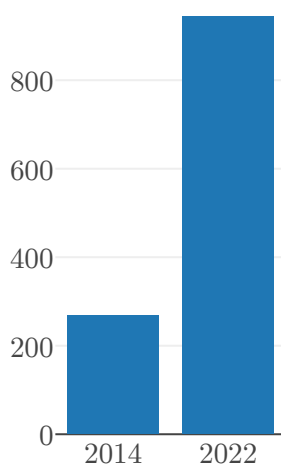


Σχήμα 1.3: Αριστερά: διδιάστατος χάρτης από μετρήσεις αισθητήρα τύπου RGBD προβεβλημένες στο οριζόντιο επίπεδο. Δεξιά: χάρτης του ίδιου χώρου από μετρήσεις αισθητήρα τύπου lidar σε δύο διαστάσεις [Oli+12]. Οι κόκκινες γραμμές αναπαράσταν το πραγματικό περιβάλλον

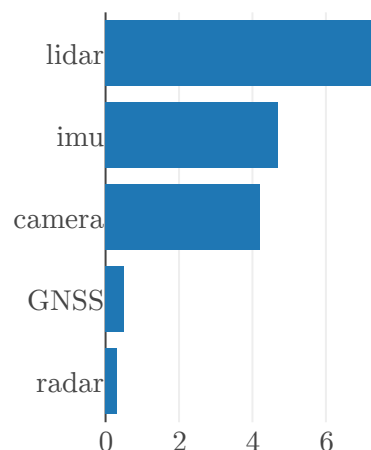
Παγκόσμια αγορά αισθητήρων
στην αυτοκινητοβιομηχανία



Παγκόσμιες πωλήσεις
αισθητήρων lidar



Παγκόσμια αγορά
αισθητήρων 2027



Σχήμα 1.4: Αριστερά: κατάτμηση της αγοράς αισθητήρων στην αυτοκινητοβιομηχανία [SSC21]. Μέση: πωλήσεις αισθητήρων lidar σε εκατομμύρια δολάρια κατά έτος [staa]. Δεξιά: προβολή της κατάτμησης της αγοράς αισθητήρων και πωλήσεις σε δισεκατομμύρια δολάρια το έτος 2027 [stab]

1.1.3 Τρέχουσα κατάσταση και Προκλήσεις

Τα θεμελιακά προβλήματα που απορρέουν από απαιτήσεις αυτόνομης πλοήγησης, δηλαδή η κατασκευή χάρτη, η εύρεση και παρακολούθηση της θέσης ενός ρομπότ στο χώρο, καθώς και η ίδια η αυτόνομη πλοήγηση, θεωρούνται σήμερα λυμένα στο πεδίο εφαρμογής ΠΕ με τη χρήση αισθητήρων lidar. Για την ακρίβεια αυτό που θεωρείται λυμένο είναι το πρόβλημα *επί της αρχής*: δηλαδή ότι υπάρχουν αναγκαίες συνθήκες στις οποίες η λύση κάθε προβλήματος είναι εφικτή. Η αφαίρεση αυτών των συνθηκών και η έρευνα με γνώμονα την ευρωστία στη μετέπειτα κατάσταση αποτελεί πρόκληση για κάθε μελλοντική λύση.

Επιπρόσθετα η λύση κάθε προβλήματος δεν είναι απαραίτητα “βέλτιστη”. Παράδειγμα αποτελεί το πεδίο του εντοπισμού της θέσης ενός ρομπότ όπου, λόγω της παρατήρησης II, η εκτίμηση για τη θέση του φέρει ένα αναπόφευκτο σφάλμα (λόγω μετρητικού θορύβου και σφαλμάτων μοντελοποίησης και λύσης). Η ανάγκη για πρόσθετη ή υψηλή ακρίβεια, αν και πάντα ευπρόσδεκτη, δεν ανήκει στις αυστηρές απαιτήσεις των ρομποτικών εφαρμογών, εκτός από αυτές της βιομηχανίας. Στις τελευταίες, ωστόσο, λόγω της ανάγκης για αυστηρές προδιαγραφές και υψηλή ακρίβεια, η αυτονομία ενός οχήματος είτε αποφεύγεται (η χειροκίνητη πλοήγηση καθιστά περιττό τον εντοπισμό της θέσης του) είτε, όπου υιοθετείται, αντικαθίσταται από εξωτερικές και δαπανηρές υποδομές λόγω των διακυβεύματων που υπάρχουν στο βιομηχανικό πλαίσιο [Vas+16]. Σε αυτό το πλαίσιο αποτελεί πρόκληση η μείωση των σφαλμάτων εκτίμησης της θέσης ενός ρομπότ, καθώς μικρότερα σφάλματα σημαίνουν περισσότερο γόνιμο έδαφος για την περαιτέρω αυτοματοποίηση διαδικασιών, και την διεύρυνση υιοθέτησης ρομποτικών οχημάτων από τη βιοτεχνία/βιομηχανία.

1.2 Απαραίτητες έννοιες

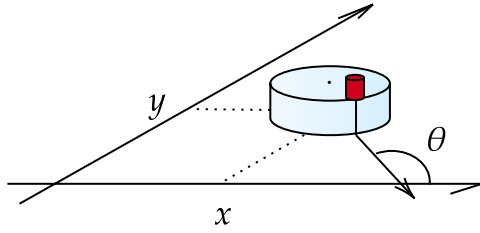
1.2.1 Εκτιμητέο διάνυσμα κατάστασης

Κεντρικής σημασίας στη διατριβή είναι το εκτιμητέο διάνυσμα κατάστασης ενός επίγειου οχήματος. Μέχρι σε αυτό το σημείο χρησιμοποιείτο αντί αυτής η λέξη “θέση” για εισαγωγικούς λόγους.

Ορισμός I. Διάνυσμα κατάστασης ή στάση

Ως διάνυσμα κατάστασης θεωρούμε τη στάση ενός οχήματος στο δισδιάστατο επίπεδο: τον ειρμό της θέσης του με τον προσανατολισμό του, ως προς το σύστημα αναφοράς του χάρτη του περιβάλλοντος στο οποίο βρίσκεται το όχημα (σχήμα 1.5):

$$\mathbf{p} = [x \ y \ \theta]^\top \quad (1.1)$$



Σχήμα 1.5: Το διάνυσμα κατάστασης (στάση) $\mathbf{p} = [x, y, \theta]^\top$ ενός επίγειου οχήματος στο οριζόντιο επίπεδο

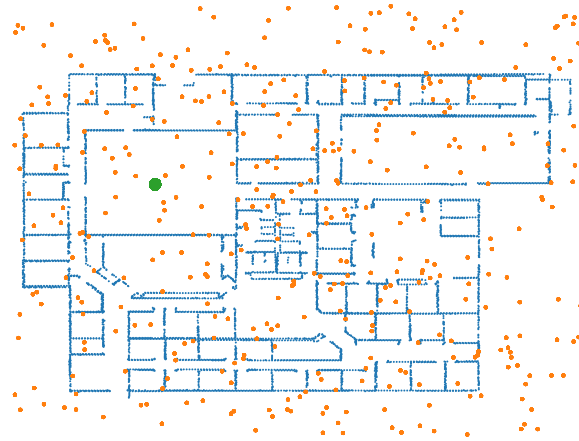
Η ακριβής γνώση της στάσης του οχήματος είναι απαγορευμένη (παρατήρηση II): η *εκτίμηση* $\hat{\mathbf{p}}$ της στάσης του είναι το αντικείμενο των αλγορίμων εύρεσης στάσης.

1.2.2 Τα δύο κύρια προβλήματα εκτίμησης στάσης

Τα δύο κύρια προβλήματα εκτίμησης της στάσης ενός οχήματος (σχήμα 1.1) διακρίνονται βάσει του εύρους της αβεβαιότητας που διαθέτει το όχημα για αυτή. Και τα δύο προϋποθέτουν κατ' ελάχιστον τη γνώση του χάρτη του περιβάλλοντος στο οποίο βρίσκεται το όχημα (το μόνο σύστημα αναφοράς είναι αυτό του χάρτη και χωρίς αυτό είναι αδύναμη η εκτίμηση της στάσης του) και μετρήσεις από τουλάχιστον έναν αισθητήρα αντίληψης του περιβάλλοντός του.

Το πρόβλημα της εύρεσης-εκτίμησης της στάσης του βάσει καθολικής αβεβαιότητας αναφέρεται στη συνθήκη όπου η μόνη επιπρόσθετη γνώση που διαθέτει το ρομπότ είναι ότι βρίσκεται εντός των ορίων του χάρτη: δεν υπάρχει εκ των προτέρων γνώση για τη στάση του. Για τη λύση του προβλήματος το ρομπότ πρέπει να συλλέξει μετρήσεις από τους αισθητήρες του και να τις αντιπαραβάλλει με το χάρτη του περιβάλλοντός. Εάν η εκτίμηση της στάσης ισούται με την πραγματική του στάση τότε εικονικές μετρήσεις ή χαρακτηριστικά του χάρτη που αντιλαμβάνεται το ρομπότ από την εκτίμήσή της στάσης του προσεγγίζουν

τις αντίστοιχες πραγματικές μετρήσεις ή χαρακτηριστικά του περιβάλλοντος με μεγαλύτερη πιστότητα από άλλες υποθέσεις για τη στάση του (σχήμα 1.6).



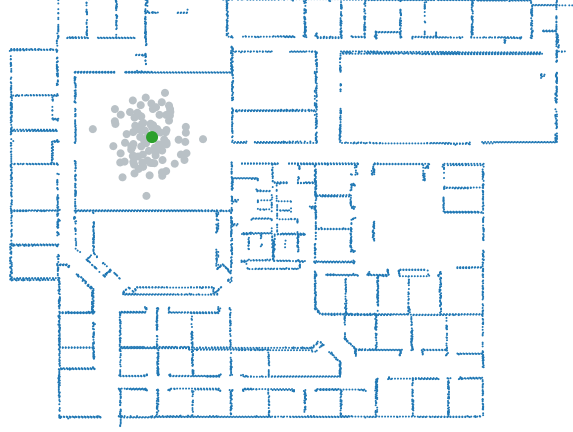
Σχήμα 1.6: Το πρόβλημα της εκτίμησης της στάσης ενός ρομπότ βάσει καθολικής αβεβαιότητας της στάσης του. Το ρομπότ βρίσκεται στη θέση που σημειώνεται με πράσινο. Οι κουκίδες που σημειώνονται με πορτοκαλί δείχνουν υποθέσεις προς εξέταση για την εκτίμηση της στάσης του

Αντιθέτως το πρόβλημα της εκτίμησης της στάσης του βάσει περιορισμένης αβεβαιότητας δέχεται ως δεδομένη τη γνώση της αρχικής του στάσης. Στόχος της λύσης του προβλήματος είναι η διαρκής εκτίμηση της στάσης του καθώς το ρομπότ κινείται μέσα στο χώρο στο πέρασμα του χρόνου. Για την επίλυσή του είναι εξαιρετικά επιτυχημένη η χρήση πιθανοτικών προσεγγίσεων, όπως το φίλτρο Kalman [May79] και το φίλτρο σωματιδίων [Thr02; Gus+02].

1.2.3 Το φίλτρο σωματιδίων

Οι πιθανοτικές προσεγγίσεις στο πρόβλημα της εκτίμησης της στάσης έχουν αυξημένη ακρίβεια και ευρωστία σε σύγκριση με τις μη πιθανοτικές, αλλά, ανάλογα με τη φύση τους, πάσχουν ή επιλύουν διάφορα προβλήματα που αφορούν στους σκοπούς εκτίμησης. Για παράδειγμα τα φίλτρα Kalman είναι γνωστό ότι είναι εύρωστα και ακριβή (βέλτιστα ακόμα όταν όλοι οι συστημικοί θόρυβοι είναι κατανομημένοι κανονικά), αλλά δεν έχουν την ικανότητα να αναπαραστούν αμφισημίες (ambiguities) ως προς τη στάση ή να εντοπίζουν το ρομπότ στην περίπτωση άγνωστης αρχικής στάσης. Από την άλλη πλευρά η φύση των τεχνικών MCL [Del+] τούς επιτρέπει να αναπαραστούν την αβεβαιότητα ως προς τη στάση του ρομπότ διατηρώντας ένα σύνολο υποθέσεων (που ονομάζονται σωματίδια) για αυτή, του οποίου η μορφή δεν δεσμεύεται από συναρτήσεις πυκνότητας πιθανότητας μίας κορυφής (unimodal)

όπως στα φίλτρα Kalman. Μεταξύ άλλων αυτή η αναπαράσταση επιτρέπει στις προσεγγίσεις MCL να εντοπίζουν καθολικά ένα ρομπότ και να παρακολουθούν τις αμφισημίες της στάσης του μέχρι να είναι σε θέση να τις επιλύσει, λόγω της δυνατότητας αναπαράστασης αυθαίρετα πολύπλοκων πυκνοτήτων πιθανότητας. Το σχήμα 1.7 απεικονίζει την κατανομή υποθέσεων στάσης μετά την αρχικοποίηση του φίλτρου σωματιδίων.



Σχήμα 1.7: Αρχικοποίηση κατανομής σωματιδίων δεδομένης εκτίμησης για την αρχική στάση. Η πληροφορία προσανατολισμού παραλείπεται για λόγους ευανάγνωστης. Στην αρχική φάση το φίλτρο δεν έχει συγκλίνει και συνεπώς η διακύμανσή του συνόλου υποθέσεων στάσης είναι μέγιστη

Τα φίλτρα σωματιδίων εκτιμούν αναδρομικά την εκ των υστέρων πυκνότητα πιθανότητας της στάσης ενός οχήματος βάσει λογικής Bayes [TBF05]:

$$p(\mathbf{p}_t | \mathbf{z}_{1:t}, \mathbf{u}_{0:t-1}, \mathbf{M}) \propto p(\mathbf{z}_t | \mathbf{p}_t) \int_{\mathbf{p}'} p(\mathbf{p}_t | \mathbf{p}', \mathbf{u}_{t-1}) \cdot p(\mathbf{p}' | \mathbf{z}_{1:t-1}, \mathbf{u}_{0:t-2}, \mathbf{M}) d\mathbf{x}' \quad (1.2)$$

όπου η στάση του ρομπότ τη χρονική στιγμή t συμβολίζεται με \mathbf{p}_t , η ακολουθία των εντολών κίνησης που εκτελούνται από το το ρομπότ με $\mathbf{u}_{0:t-1}$, και με $\mathbf{z}_{0:t}$ η ακολουθία των μετρήσεων που γίνονται από το τους αισθητήρες του. \mathbf{M} είναι ο χάρτης που αναπαράστα το περιβάλλον στο οποίο κινείται το ρομπότ. Το μοντέλο κίνησης $p(\mathbf{p}_t | \mathbf{p}_{t-1}, \mathbf{u}_{t-1})$ υποδηλώνει την πιθανότητα ότι τη χρονική στιγμή t το ρομπότ καταλήγει στην κατάσταση \mathbf{p}_t δεδομένου ότι εκτελεί την εντολή κίνησης \mathbf{u}_{t-1} ενώ βρίσκεται στην κατάσταση \mathbf{p}_{t-1} τη χρονική στιγμή $t - 1$. Σε ρομπότ με τροχούς οι εντολές κίνησης συνήθως αντικαθίστανται από μετρήσεις της περιστροφής τους μέσω κωδικοποιητών (encoders), οι οποίες αναφέρονται ως

οδομετρία. Το μοντέλο παρατήρησης $p(z_t | \mathbf{p}_t, \mathbf{M})$ δηλώνει την πιθανότητα μέτρησης z_t ενώ το ρομπότ βρίσκεται στη στάση \mathbf{p}_t . Δεδομένου ότι τα φίλτρα σωματιδίων διατηρούν ένα σύνολο διαφορετικών υποθέσεων ως προς την κατάσταση του ρομπότ, η κάθε μία σταθμίζεται σύμφωνα με την πιθανότητα το ρομπότ να διενεργήσει τη μέτρηση z_t υπό τη συγκεκριμένη υπόθεση στάσης ενός σωματιδίου \mathbf{p}_t^i με βάση το μοντέλο παρατήρησης $p(z_t | \mathbf{p}_t, \mathbf{M})$, όπου i δηλώνει τον δείκτη-αναγνωριστικό του σωματιδίου-υπόθεσης i . Αυτή η πιθανότητα ονομάζεται το *βάρος* του κάθε σωματιδίου, του οποίου το μέγεθος, θεωρητικά, είναι ευθέως ανάλογο της ακρίβειας της υπόθεσής του για τη στάση του ρομπότ. Η τελική εκτίμηση του φίλτρου είναι ο σταθμισμένος μέσος όρος των υποθέσεων στάσης όλων των σωματιδίων κατά το βάρος του καθενός.

Το φίλτρο σωματιδίων έχει τη δυνατότητα να αφομοιώσει μετρήσεις από αισθητήρες των οποίων το μοντέλο παρατήρησης μπορεί να ανακατασκευαστεί σε κλειστή μορφή, και συνήθως χρησιμοποιούνται αισθητήρες sonar, lidar, και εικόνες. Η παρούσα διατριβή εστιάζει αποκλειστικά στη χρήση αισθητήρων lidar δισδιάστατων μετρήσεων.

1.2.4 Ο αισθητήρας lidar δισδιάστατων μετρήσεων

Ορισμός II. Ορισμός μέτρησης αισθητήρα 2D lidar

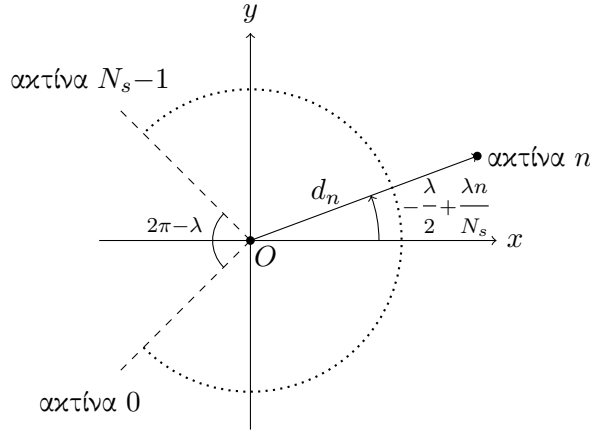
Μία μέτρηση συμβατικού αισθητήρα 2D lidar αποτελείται από έναν πεπερασμένο αριθμό αποστάσεων σε αντικείμενα σε οπτική επαφή εντός της μέγιστης εμβέλειάς του. Οι μετρήσεις λαμβάνονται εγγαρσίως προς το σώμα του, σε κανονικά γωνιακά και χρονικά διαστήματα, σε ένα καθορισμένο γωνιακό εύρος [CRP18].

Μία μέτρηση-σάρωση \mathcal{S} που απαρτίζεται από N_s ακτίνες σε γωνιακό εύρος λ είναι μία διατεταγμένη ακολουθία $\mathcal{S} : \Theta \rightarrow \mathbb{R}_{\geq 0}$, όπου

$$\Theta = \{\theta_n \in [-\frac{\lambda}{2}, +\frac{\lambda}{2}) : \theta_n = -\frac{\lambda}{2} + \lambda \frac{n}{N_s}, n = 0, 1, \dots, N_s - 1\} \quad (1.3)$$

Οι γωνίες θ_n εκφράζονται σε σχέση με τον προσανατολισμό του αισθητήρα στο τοπικό του σύστημα συντεταγμένων.

Το σχήμα 1.8 απεικονίζει τη γεωμετρία του ενός τυπικού αισθητήρα 2D lidar, όπου $d_n = \mathcal{S}[-\frac{\lambda}{2} + \frac{\lambda n}{N_s}]$ είναι η απόσταση που αφορά στην ακτίνα με αναγνωριστικό n .



Σχήμα 1.8: Κάτοψη του τοπικού συστήματος αναφοράς ενός τυπικού αισθητήρα αποστάσεων τύπου 2D lidar. Ο αισθητήρας είναι τοποθετημένος στο $O(0, 0)$ και ο προσανατολισμός του είναι αυτός του θετικού x άξονα. Το γωνιακό πεδίο οράσεώς του είναι λ

Ορισμός III. Πανοραμικός αισθητήρας 2D lidar

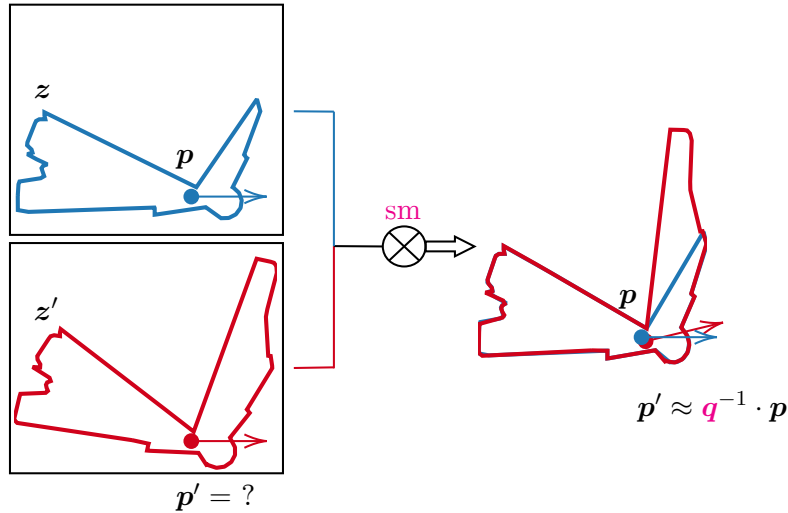
Το γωνιακό εύρος ενός 2D lidar είναι συμμετρικά κατανομημένο ως προς τον τοπικό του x άξονα. Κάθε ακτίνα έχει την ίδια γωνιακή απόσταση από τις γειτονικές της, εξαιρέσει των δύο ακραίων ακτίνων όταν $\lambda < 2\pi$. Όταν $\lambda = 2\pi$ ο αισθητήρας ονομάζεται πανοραμικός.

1.2.5 Ευθυγράμμιση σαρώσεων lidar

Η ευθυγράμμιση σαρώσεων μέσω αισθητήρων lidar βρίσκεται στο επίκεντρο των περισσότερων εφαρμογών χαρτογράφησης και εκτίμησης της στάσης ενός οχήματος λόγω της ικανότητάς της να εξάγει τη σχέση μεταξύ στάσεων από όπου ελήφθησαν μετρήσεις του αισθητήρα. Έστω ένα ρομπότ εξοπλισμένο με έναν αισθητήρα 2D lidar που καταγράφει δύο σαρώσεις, z και z' , την πρώτη ενώ ο αισθητήρας είναι τοποθετημένος στη στάση $\mathbf{p}(x, y, \theta)$, και την δεύτερη ενώ βρίσκεται στη στάση $\mathbf{p}'(x', y', \theta')$, σε κάποιο σύστημα αναφοράς. Αυτές οι σαρώσεις καταγράφουν μια οριζόντια τομή του περιβάλλοντος στο οποίο κινείται το ρομπότ. Υπό την προϋπόθεση ότι ορισμένα τμήματα του περιβάλλοντος είναι ορατά τόσο από τη στάση \mathbf{p} όσο και από τη \mathbf{p}' είναι γενικά δυνατή η εύρεση του τρισδιάστατου μετασχηματισμού \mathbf{q} που προβάλλει τα τελικά σημεία του z' σε εκείνα του z με τρόπο τέτοιο ώστε να ευθυγραμμιστούν μεταξύ τους. Η διαδικασία εξαγωγής του μετασχηματισμού \mathbf{q} ονομάζεται ευθυγράμμιση σαρώσεων (scan-matching—εδώ σε μετρήσεις δύο διαστάσεων). Η λύση \mathbf{q}

αποτελείται από δύο μεταφορικές συνιστώσες, Δx και Δy , και μία περιστροφική συνιστώσα, $\Delta\theta$. Αυτή η λύση αντιστοιχεί στην ακριβώς αντίστροφη κίνηση του αισθητήρα από τη στάση \mathbf{p} στην \mathbf{p}' : $\mathbf{p} = \mathbf{R}(\Delta\theta) \cdot \mathbf{p}' + [\Delta x, \Delta y]^T$, όπου $\mathbf{R}(\cdot)$ είναι ο πίνακας περιστροφής σε δύο διαστάσεις.

Στο σχήμα 1.9 απεικονίζεται η ευθυγράμμιση δύο μετρήσεων που λήφθηκαν από στάσεις σε κοντινή απόσταση και στο ίδιο περιβάλλον μέσω του τελεστή sm . Στην πράξη, η εφαρμογή του μετασχηματισμού \mathbf{q}^{-1} στο διάνυσμα \mathbf{p} δεν ισούται ακριβώς με \mathbf{p}' λόγω (α) της παρουσίας θορύβου στις μετρήσεις του αισθητήρα, (β) ενδεχόμενης ατελούς αλληλοεπικάλυψης των δύο μετρήσεων σε μη κυρτά περιβάλλοντα, (γ) του γεγονότος ότι ένας αλγόριθμος ευθυγράμμισης σαρώσεων δεν είναι απαραίτητα τέλειος τελεστής, και (δ) του γεγονότος ότι ο τελευταίος συνήθως απαιτεί τον καθορισμό πολλών παραμέτρων, κυριότερες από τις οποίες είναι εκείνες που διέπουν το χειρισμό των συσχετίσεων ανάμεσα στις ακτίνες των δύο μετρήσεων.



Σχήμα 1.9: Η ευθυγράμμιση των μετρήσεων 2D lidar $z(\mathbf{p})$ και $z'(\mathbf{p}')$ (scan-matching) παράγει την εκτίμηση \mathbf{p}' από την \mathbf{p}

Ορισμός IV. Ευθυγράμμιση σαρώσεων 2D lidar

Έστω δύο μετρήσεις ενός 2D lidar αισθητήρα που ικανοποιούν τον ορισμό II, \mathcal{S}_R και \mathcal{S}_V . Έστω ότι οι μετρήσεις λήφθηκαν στο ίδιο περιβάλλον και τις δύο χρονικές στιγμές καταγραφής τους. Έστω $\mathbf{p}_V(x_V, y_V, \theta_V)$ η στάση από την οποία ο αισθητήρας κατέγραψε την \mathcal{S}_V , εκπεφρασμένη σε κάποιο σύστημα συντεταγμένων. Στόχος της ευθυγράμμισης σαρώσεων σε δύο διαστάσεις είναι να βρεθεί ο τρισδιάστατος μετασχη-

ματισμός $\mathbf{q} = (\mathbf{t}, \theta)$, $\mathbf{t} = (\Delta x, \Delta y)$, που ελαχιστοποιεί την απόσταση των τελικών σημείων της μετασχηματιζόμενης κατά \mathbf{q} μέτρησης \mathcal{S}_V από την προβολή της στην \mathcal{S}_R . Συμβολίζοντας τα τελικά σημεία του \mathcal{S}_V με $\{\mathbf{p}_V^i\}$:

$$\min_{\mathbf{q}} \sum_i \left\| \mathbf{p}_V^i \oplus \mathbf{q} - \prod \{\mathcal{S}_R, \mathbf{p}_V^i \oplus \mathbf{q}^{-1}\} \right\|^2 \quad (1.4)$$

Το σύμβολο “ \oplus ” δηλώνει τον τελεστή μετασχηματισμού $\mathbf{p}_V^i \oplus (\mathbf{t}, \theta) \triangleq \mathbf{R}(\theta)\mathbf{p}_V^i + \mathbf{t}$, όπου $\mathbf{R}(\theta)$ είναι ο δισδιάστατος πίνακας περιστροφής με όρισμα θ , και $\prod \{\mathcal{S}_R, \mathbf{p}_V^i \oplus \mathbf{q}\}$ είναι η ευκλείδεια προβολή στην \mathcal{S}_R .

Παρατήρηση III. Η ευθυγράμμιση σαρώσεων χρησιμοποιείται στη ρομποτική ως μέσο οδομετρίας, πρωτίστως σε μη τροχοφόρα οχήματα (τα οποία συνεπώς δεν έχουν τη δυνατότητα να φέρουν κωδικοποιητές), ή ως ένας χρήσιμος βελτιωτικός παράγοντας της διαρκώς παρεκκλίνουσας οδομετρίας με κωδικοποιητές: σαρώσεις που λαμβάνονται σε διαδοχικές χρονικές στιγμές, εισαγόμενες σε αλγόριθμο ευθυγράμμισης σαρώσεων, εξάγουν την εκτίμηση της στάσης του αισθητήρα σάρωσης κατά τη δεύτερη χρονική στιγμή καταγραφής σε σχέση με την πρώτη. Αλγόριθμοι ευθυγράμμισης σαρώσεων χρησιμοποιούνται με επιτυχία για την επίλυση του προβλήματος της ταυτόχρονης χαρτογράφησης και εκτίμησης της στάσης οχήματος [GK; Hah+; CTT], κατασκευή τοπικών χαρτών [Lac+02; MMM; MMM08], και σε συστήματα παρακολούθησης της τροχιάς ανθρώπων [Sch+].

1.2.6 Ευθυγράμμιση σαρώσεων lidar με σαρώσεις χάρτη

Η τεχνική της ευθυγράμμισης μετρήσεων 2D lidar έχει αποκτήσει τα τελευταία χρόνια και μία ακόμη εφαρμογή: τη χρήση της για την εκτίμηση της στάσης ενός οχήματος εντός του χάρτη του περιβάλλοντος στο οποίο βρίσκεται. Η λογική εδώ είναι ότι εάν αντικατασταθεί η μία από τις δύο μετρήσεις που αναφέρονται στο περιβάλλον με μία σάρωση που αναφέρεται στο χάρτη του τότε η ευθυγράμμιση της σάρωσης του χάρτη με τη σάρωση του περιβάλλοντος παρέχει το μετασχηματισμό που ελαχιστοποιεί το σφάλμα εκτίμησης της στάσης του αισθητήρα στο σύστημα συντεταγμένων του χάρτη. Συνεπώς η ευθυγράμμιση σαρώσεων lidar με

σαρώσεις χάρτη μπορεί να χρησιμοποιηθεί στο πλαίσιο της λύσης προβλημάτων εκτίμησης της στάσης του αισθητήρα. Κατά συνέπεια, σε αντίθεση με το πρόβλημα της ευθυγράμμισης σαρώσεων μετρήσεων lidar, το οποίο δεν προϋποθέτει τη γνώση του χάρτη του περιβάλλοντος, στο πρόβλημα της ευθυγράμμισης σαρώσεων lidar με σαρώσεις χάρτη η γνώση του τελευταίου είναι αναγκαία συνθήκη.

Ορισμός V. *Ορισμός σάρωσης χάρτη*

Μια σάρωση χάρτη είναι μια εικονική σάρωση που ενσωματώνει τις ίδιες πληροφορίες με μια σάρωση που προέρχεται από έναν φυσικό αισθητήρα. Μόνο η υποκείμενη αρχή λειτουργίας τους είναι διαφορετική λόγω του γεγονότος ότι η σάρωση χάρτη αναφέρεται σε αποστάσεις σε εμπόδια εντός του χάρτη του περιβάλλοντος του ρομπότ και όχι εντός του το ίδιου του περιβάλλοντος—εξ ου και η εικονικότητά του. Μία σάρωση χάρτη λαμβάνεται από έναν εικονικό αισθητήρα και προκύπτει μέσω του εντοπισμού των τομών των ακτίνων που προέρχονται από την εκτίμηση της στάσης του αισθητήρα και των ορίων των εμποδίων του χάρτη.

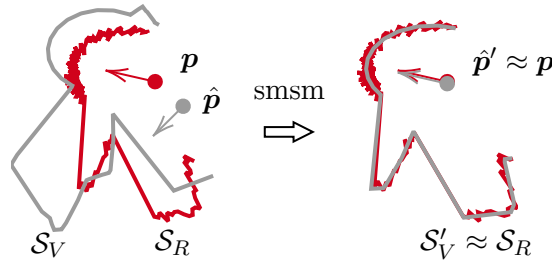
Ορισμός VI. *Ευθυγράμμιση σαρώσεων 2D lidar με σαρώσεις χάρτη*

Η ευθυγράμμιση σαρώσεων 2D lidar με σαρώσεις χάρτη ορίζεται με τον ίδιο τρόπο όπως η ευθυγράμμιση σαρώσεων 2D lidar (ορισμός IV) αλλά με το S_V να προέρχεται όχι από το φυσικό περιβάλλον του ρομπότ αλλά από το χάρτη του.

Παρατήρηση IV. Το όφελος της ευθυγράμμισης α) μιας σάρωσης χάρτη που προέρχεται από έναν εικονικό αισθητήρα, από την εκτιμώμενη στάση του σε αυτόν με (β) μια σάρωση που προέρχεται από έναν φυσικό αισθητήρα, από την πραγματική του στάση είναι ότι η διόρθωση της εκτίμησης της στάσης του αισθητήρα παρέχει τη διόρθωση της εκτίμησης της στάσης του ρομπότ: Έστω ότι η εκτίμηση της στάσης ενός ρομπότ βρίσκεται στη γειτονιά της πραγματικής στάσης του. Αν υποθεθεί ότι ο αισθητήρας απόστασης είναι σταθερά στην ίδια στάση σε σχέση με το ρομπότ τόσο στο πραγματικό όσο και στο εικονικό περιβάλλον τότε ο μετασχηματισμός των τελικών σημείων της εικονικής σάρωσης που ελαχιστοποιεί την απόσταση από την προβολή τους στη φυσική σάρωση ισούται με το μετασχηματισμό που, όταν εφαρμοστεί στην εκτιμώμενη στάση του ρομπότ ελαχιστοποιεί το σφάλμα της σε σχέση με την πραγμα-

τική του στάση. Επομένως η εξαγωγή του σχετικού μετασχηματισμού της εικονικής σάρωσης σε σχέση με την πραγματική σάρωση μπορεί να χρησιμοποιηθεί ως διόρθωση της εκτίμησης της θέσης του ρομπότ εντός του χάρτη. Η βαρύτητα της σημασίας αυτής της διόρθωσης έγκειται στο γεγονός ότι η τελευταία μπορεί να χρησιμοποιηθεί για να μειώσει το σφάλμα εκτίμησης της θέσης του ρομπότ κατά την παρακολούθηση της στάσης του, ή για να διευκολύνει την εύρεση της στάσης του υπό καθολική αβεβαιότητα.

Στο σχήμα 1.10 απεικονίζεται η ευθυγράμμιση μίας μέτρησης \mathcal{S}_R με μία εικονική μέτρηση \mathcal{S}_V μέσω του τελεστή smsm .



Σχήμα 1.10: Η ευθυγράμμιση της 2D εικονικής μέτρησης $\mathcal{S}_V(\hat{p})$ με τη φυσική μέτρηση 2D lidar $\mathcal{S}_R(p)$ (scan-to-map-scan matching) μειώνει το σφάλμα εκτίμησης σε $\hat{p}' \approx p$: $\|\hat{p}' - p\| < \|\hat{p} - p\|$. Τα κόκκινα σημεία υποδηλώνουν τη φυσική μέτρηση $\mathcal{S}_R(p)$, ενώ τα γκρι την εικονική μέτρηση $\mathcal{S}_V(\hat{p})$. Η μεταβολή της μορφής της εικονικής μέτρησης οφείλεται στο γεγονός ότι από διαφορετικές στάσεις εντός του χάρτη είναι ορατά διαφορετικά σημεία του: η εικονική μέτρηση προσομοιάζει όλο και περισσότερο τη φυσική μέτρηση όσο το σφάλμα εκτίμησης της στάσης μειώνεται.

Παρατήρηση V. Σε αντίθεση με το πρόβλημα της ευθυγράμμισης πραγματικών σαρώσεων, η ευθυγράμμιση πραγματικών και εικονικών σαρώσεων είναι ένα εγγενώς συζευγμένο πρόβλημα: δεδομένου του γεγονότος ότι η γεωμετρία των τελικών σημείων των ακτίνων της εικονικής σάρωσης μπορεί να ευθυγραμμιστεί, χωρίς βλάβη της γενικότητας, μόνο από την πραγματική στάση του ρομπότ, ο προσανατολισμός του ρομπότ μπορεί να εξαχθεί εάν και μόνον εάν η εκτίμηση της θέσης του συμπίπτει με την πραγματική του θέση, και η θέση του μπορεί να εξαχθεί μόνο εάν και μόνον εάν η εκτίμηση προσανατολισμού του είναι ίση με τον πραγματικό του προσανατολισμό. Ωστόσο, και τα δύο είναι, κατ' αρχήν, άνισα. Αυτή η σύζευξη είναι ο λόγος για τον οποίο απαιτείται μια επαναληπτική μέθοδος όσο αφορά στην λύση της ευθυγράμμισης

πραγματικών και εικονικών σαρώσεων.

Παρατήρηση VI. Σε αντίθεση με την ευθυγράμμιση μετρήσεων, όπου η S_V είναι μια αμετάβλητη μέτρηση επιφορτωμένη με αναπόφευκτα σφάλματα λόγω τυφλών σημείων, στην ευθυγράμμιση πραγματικών μετρήσεων και εικονικών σαρώσεων η S_V παράγεται από το χάρτη, ο οποίος αποτυπώνει το περιβάλλον του ρομπότ στο σύνολό του, μεταφέροντας έτσι αυτή την ιδιότητα στην εικονική σάρωση. Αυτή η λεπτή διαφορά καθιστά κατ' αρχήν δυνατή την ευθυγράμμιση της εικονικής σάρωσης S_V με την αμετάβλητη μέτρηση S_R

- με μέγιστη ακρίβεια: η ανάκτηση της πραγματικής στάσης του ρομπότ μπορεί να γίνει με αυθαίρετη ακρίβεια (στην ιδανική περίπτωση τέλειων μετρήσεων και πλήρους σύμπτωσης χάρτη και περιβάλλοντος)
- χωρίς την ανάγκη να δημιουργηθούν αντιστιχίες μεταξύ των ακτίνων των δύο σαρώσεων (καθώς η λειτουργία αυτή επινοήθηκε για και κυρίως διευκολύνει την αντιστοίχιση συνόλων που κατ' αρχήν επικαλύπτονται σε ορισμένες περιοχές αλλά όχι σε άλλες, δηλαδή για το έργο της ευθυγράμμισης μετρήσεων)

Παρατήρηση VII. Η σημασία της αποφυγής χρήσης αντιστοιχιών—εκτός από το γεγονός ότι δεν είναι αυστηρά απαραίτητες για την ευθυγράμμιση πραγματικών μετρήσεων και εικονικών σαρώσεων—έγκειται στο γεγονός ότι η αποφυγή τους συμπαράσχει και την αποφυγή χρήσης των εξωτερικά καθορίσιμων παραμέτρων που διέπουν τη λειτουργία των αλγορίθμων ευθυγράμμισης. Μέθοδοι ευθυγράμμισης που βασίζονται στην εφεύρεση και χρήση αντιστοιχιών απαιτούν τη ρύθμιση των εν λόγω παραμέτρων, ο προσδιορισμός ορισμένων από τις οποίες έχει αποδειχθεί ότι είναι μη διαισθητικός, απαιτητικός, και όχι καθολικά αρμόζων σε οποιοδήποτε περιβάλλον ή ακόμη και για διαφορετικές στάσεις στο ίδιο περιβάλλον.

1.2.7 Το λειτουργικό σύστημα ρομπότ ROS

Το ROS είναι ένα μετα-λειτουργικό σύστημα ανοικτού κώδικα για την εκτέλεση εφαρμογών που αφορούν στη ρομποτική από το υπολογιστικό σύστημα που φέρει ένα ρομπότ

[Ng09]. Παρέχει αφαίρεση υλικού (hardware abstraction), ελέγχου συσκευών χαμηλού επιπέδου, υλοποίηση συχνά χρησιμοποιούμενων λειτουργιών, διακίνησης μηνυμάτων μεταξύ διεργασιών, και διαχείριση πακέτων. Παρέχει επίσης εργαλεία και βιβλιοθήκες για την απόκτηση, την κατασκευή, τη συγγραφή, και την εκτέλεση κώδικα. Ο "γράφος" του ROS σε χρόνο εκτέλεσης είναι ένα δίκτυο peer-to-peer διεργασιών που συνδέονται χρησιμοποιώντας την υποδομή επικοινωνίας του ROS.

Ένα από τα κύρια πλεονεκτήματα του ROS είναι η τυποποίηση των τύπων μηνυμάτων επικοινωνίας, χρησιμοποιώντας μια απλή γλωσσικά ουδέτερη IDL (Interface Definition Language) για την περιγραφή τους, με αποτέλεσμα την ικανότητα υλοποίησης λογισμικού χωρίς γλωσσικές ιδιαιτερότητες. Αυτή η τυποποίηση επιτρέπει την ανάπτυξη αποσυνδεδεμένων πακέτων ROS, δηλαδή εύκολα επαναχρησιμοποιήσιμων συλλογών *κόμβων*. Ένας κόμβος είναι μια υπολογιστική διεργασία που εκτελεί υπολογισμούς που προσφέρουν συγκεκριμένη λειτουργικότητα. Οι κόμβοι συνδυάζονται μαζί σε έναν γράφο και επικοινωνούν μεταξύ τους ασύγχρονα, χρησιμοποιώντας θέματα (topics), ή/και σύγχρονα, μέσω υπηρεσιών κλήσης απομακρυσμένων διαδικασιών². Στο ROS ένα ρομποτικό σύστημα αποτελείται συνήθως από πολλούς κόμβους. Οι απαιτήσεις του υλικού του ROS είναι ελάχιστες σε επεξεργαστική ισχύ και μνήμη, καθιστώντας το ικανό να εκτελεστεί σε ένα Raspberry Pi ή ένα BeagleBone, ωστόσο οι πραγματικές απαιτήσεις του ποικίλουν ανάλογα με το ανάλογα με τον αριθμό και τον τύπο των κόμβων που έχει αναλάβει να εκτελέσει ένα ρομπότ.

Για τους σκοπούς της διατριβής χρησιμοποιείται σε συνδυασμό με πραγματικά ή προσομοιωμένα περιβάλλοντα, αισθητήρες, και ρομπότ, για την εμβάθυνση και διευκόλυνση της έρευνας στο πεδίο εφαρμογής ΠΕ.

²<http://wiki.ros.org/Nodes>

Κεφάλαιο 2

Οδικός χάρτης

2.1 Οδικός χάρτης

Αυτό το κεφάλαιο έχει ως σκοπό την παροχή μίας συνοπτικής κάτοψης των προβλημάτων των οποίων τη λύση συμβάλλει η διατριβή. Το σχήμα 2.1 λειτουργεί τροχιοδεικτικά ως προς τα προβλήματα-σταθμούς, των συνδετικών βημάτων ανάμεσά τους, και τις ιδιότητές των λύσεών τους.

Όλα ξεκινούν από την ανάγκη διαλεύκανσης ενός προβλήματος του οποίου η λύση είναι κρίσιμη σε πρακτικές εφαρμογές ρομποτικής κινητής βάσης: της επίδοσης και ποιότητας των διαφορετικών πακέτων λογισμικού που αφορούν στην αυτόνομη πλοήγηση με το λειτουργικό σύστημα ROS (υποενότητα 1.2.7). Καθώς η δημοφιλία τού τελευταίου έχει εξαπλωθεί στην έρευνα, έχει ενσωματωθεί σε αυτό ένας ικανός αριθμός αλγορίθμων αυτόνομους πλοήγησης (χάραξης μονοπατιών σε δισδιάστατο χάρτη και ελεγκτών κίνησης: υποενότητα 1.1.1), των οποίων η συνδυαστική χρήση αποτελεί αντικείμενο χρονοβόρας έρευνας και πειραματισμού για ερευνητές και επαγγελματίες του πεδίου εφαρμογής ΠΕ. Σκοπός αυτής της μελέτης είναι η παροχή μίας μεθόδου αξιολόγησης της επίδοσης αλγορίθμων αυτόνομους πλοήγησης, καθώς και η πειραματική αξιοποίησή της σε ό,τι αφορά τρέχοντες διαθέσιμους αλγορίθμους.

Κατά τη διενέργεια της πειραματικής αξιολόγησης των μεθόδων πλοήγησης παρατηρήσαμε το φαινόμενο της αστάθειας της εκτίμησης της στάσης από το φίλτρο σωματιδίων, και το γενικευμένο φαινόμενο του σφάλματός της ως προς την πραγματική στάση ενός ρομπότ, ανεξαρτήτως μεθόδου πλοήγησης (σχήμα 2.1-A). Η μικρή αυτή παρατήρηση αποδεικνύεται

ότι είναι καίριας σημασίας καθώς μάς εισάγει στον δρόμο της έρευνας επί της βελτίωσης της εκτίμησης της στάσης ενός ρομπότ.

Προς αυτόν το στόχο επικεντρωθήκαμε στην πηγή του προβλήματος: την εκτίμηση της στάσης ενός ρομπότ βάσει περιορισμένης αβεβαιότητας (pose tracking) με φίλτρο σωματιδίων (υποενότητα 1.2.3). Με σκοπό τη μείωση του σφάλματος εκτίμησης θέσαμε έναν αριθμό από υποθέσεις και εξακριβώσαμε πειραματικά την ευστάθειά τους. Τα συμπεράσματα που εξήγαμε αφορούν στη βελτίωση της ακρίβειας εκτίμησης του φίλτρου σωματιδίων (α) επιλέγοντας ως πηγές της τελικής εκτίμησης του υποσύνολα των πιό βαρέων σωματιδίων, (β) με τον προσθετικό τρόπο χρήσης της μεθόδου ευθυγράμμισης μετρήσεων lidar με σαρώσεις χάρτη (υποενότητα 1.2.6), και (γ) με την ανατροφοδότηση της εκτίμησης της τελευταίας στον πληθυσμό σωματιδίων του φίλτρου (σχήμα 2.1-B).

Για την υλοποίηση της ευθυγράμμισης μετρήσεων lidar με σαρώσεις χάρτη χρησιμοποιήσαμε τον αλγόριθμο ευθυγράμμισης μετρήσεων lidar με την καλύτερη επίδοση στη βιβλιογραφία. Κατά την υλοποίηση της μεθόδου β' παρατηρήσαμε ότι η λύσεις του εν λόγω αλγορίθμου παρουσίαζαν σημαντικές διακυμάνσεις στην ακρίβειά τους (α) με μικρές αλλαγές στις παραμέτρους που αφορούν στη διαδικασία υπολογισμού αντιστοιχιών ανάμεσα στις ακτίνες των δύο σαρώσεων, και (β) με την ακρίβεια να μειώνεται όσο ο θόρυβος στις δύο σαρώσεις αυξάνεται.

Για αυτούς τους λόγους ξεκινήσαμε να ερευνούμε τη βιβλιογραφία για μεθόδους ευθυγράμμισης μετρήσεων lidar με σαρώσεις χάρτη που να μην χρησιμοποιούν αντιστοιχίες και που να είναι εύρωστες ως προς τον θόρυβο εισόδου. Το ενδιαφέρον εδώ είναι ότι τόσο οι μέθοδοι ευθυγράμμισης μετρήσεων lidar με σαρώσεις χάρτη όσο και οι μέθοδοι ευθυγράμμισης μετρήσεων lidar (οι οποίες είναι δυνατόν και αυτές να χρησιμοποιηθούν για την ευθυγράμμιση μετρήσεων με σαρώσεις χάρτη) χρησιμοποιούν στο σύνολό τους αντιστοιχίες ανάμεσα σε δύο εισόδους για να φέρουν εις πέρας την ευθυγράμμιση. Για να πετύχουμε τους στόχους στραφήκαμε εν τέλει στο πεδίο της μηχανικής όρασης, από όπου χρησιμοποιήσαμε μία μέθοδο που εκπληρώνει και τα δύο κριτήρια. Για την πειραματική εξακρίβωση του οφέλους χρήσης της τήν στρέψαμε στο πρόβλημα της εύρεσης της στάσης ενός ρομπότ βάσει καθολικής αβεβαιότητας (σχήμα 2.1-Γ). Η πειραματική διαδικασία της μεθόδου εστιάζει στην εξακρίβωση των ποσοστών των αληθώς θετικών εκτιμήσεων στάσεων και των σφαλμάτων τους σε σχέση με την καλύτερη μέθοδο ευθυγράμμισης μετρήσεων lidar με σαρώσεις χάρτη της βιβλιογραφίας.

Ο λόγος που η μέθοδος δεν χρησιμοποιήθηκε απευθείας για την εκτίμηση της στάσης ενός

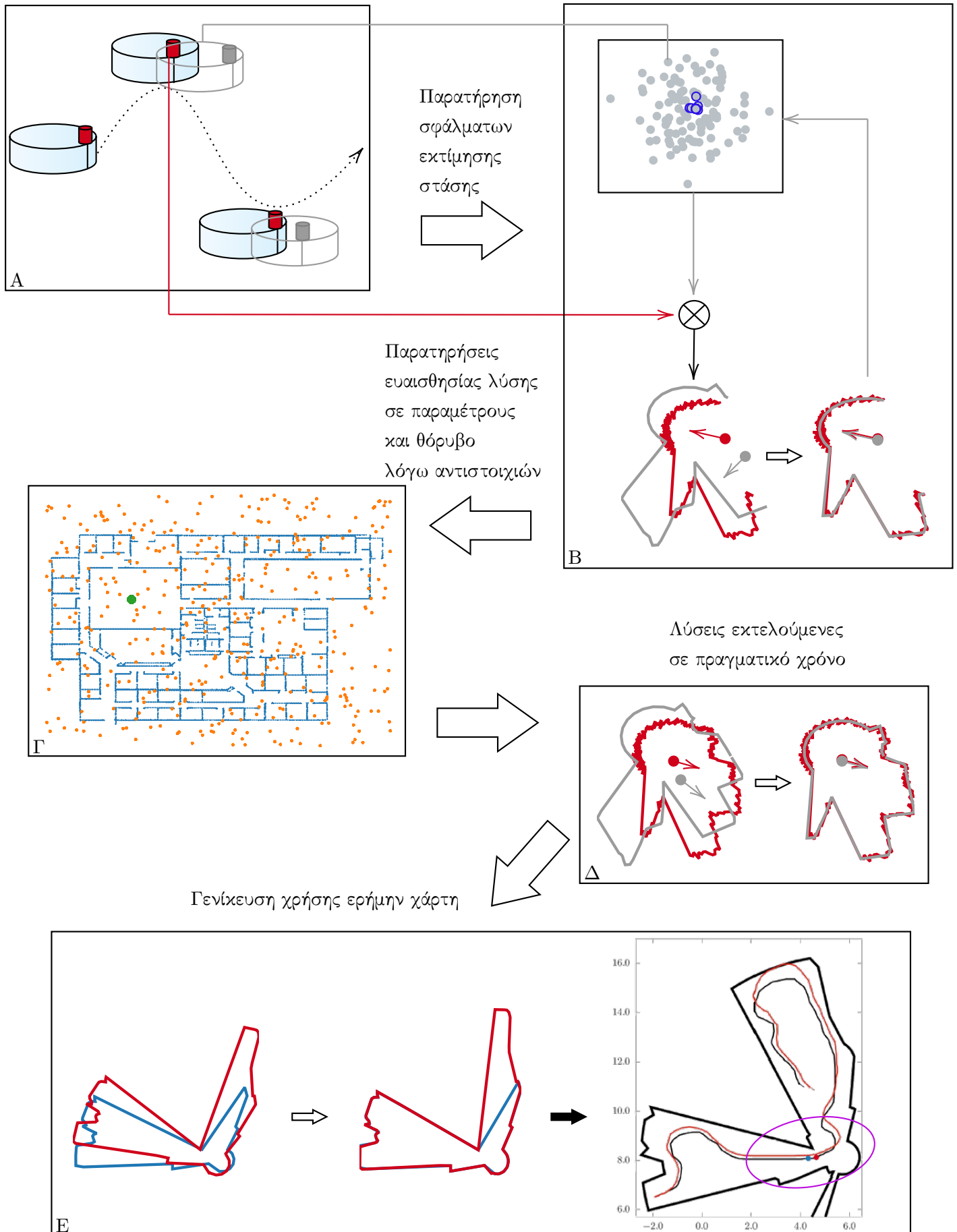
οχήματος βάσει περιορισμένης αβεβαιότητας είναι ότι ο χρόνος εκτέλεσής της είναι τέτοιος που δεν μπορεί να συμβαδίσει με το ρυθμό ανανέωσης των μετρήσεων που προέρχονται από έναν συμβατικό αισθητήρα lidar. Αντιθέτως, στο πρόβλημα της εκτίμησης βάσει καθολικής αβεβαιότητας, ο χαμηλός χρόνος εκτέλεσης είναι επιθυμητός αλλά όχι αυστηρά απαιτητέος ή αναγκαίος.

Σε αυτό το σημείο είχαν γίνει κατανοητά τέσσερα σημεία: (α) η ευθυγράμμιση μετρήσεων με σαρώσεις χάρτη είναι ικανή να επιλύσει με επιτυχία τα προβλήματα εύρεσης και παρακολούθησης της στάσης ενός ρομπότ (δηλαδή βάσει καθολικής και πεπερασμένης αβεβαιότητας), (β) η ευθυγράμμιση μετρήσεων με σαρώσεις χάρτη με βάση τον υπολογισμό αντιστοιχιών ανάμεσα στις εισόδους—ο *de facto* και καθ' ολοκληρίαν τρόπος επίλυσης του προβλήματος—είναι υπό συνθήκες επιβλαβής ως προς την ποιότητα της ευθυγράμμισης, (γ) η ανάπτυξη μεθόδων ευθυγράμμισης μετρήσεων με σαρώσεις χάρτη χωρίς τη χρήση αντιστοιχιών που εκτελείται σε πραγματικό χρόνο αποτελεί ως εκ τούτου σημαντική συμβολή στη λύση του προβλήματος, και (δ) οποιαδήποτε προσπάθεια για τη δημιουργία μεθόδου ευθυγράμμισης μετρήσεων με σαρώσεις χάρτη χωρίς τη χρήση αντιστοιχιών θα έπρεπε να προέλθει από έρευνα έξω από τη σχετική βιβλιογραφία.

Ως εκ τούτων η έρευνα μας επικεντρώθηκε στην επίλυση του προβλήματος της ευθυγράμμισης μετρήσεων με σαρώσεις χάρτη χωρίς τη χρήση αντιστοιχιών και σε πραγματικό χρόνο. Προς αυτόν το σκοπό εστιάσαμε σε μία κλάση αισθητήρων lidar των οποίων η χρήση έχει αυξηθεί τα τελευταία χρόνια για σκοπούς εύρεσης της στάσης, οι οποίοι έχουν να επωφεληθούν τα μέγιστα από τέτοιες μεθόδους λόγω του αυξημένου θορύβου μέτρησης που φέρουν. Επιπρόσθετα, αυτή η κλάση αισθητήρων εμφανίζει πανοραμικό γωνιακό πεδίο όρασης: κατά συνέπεια η περιοδικότητα του σήματος μετρήσεων αποτελεί γόνιμο έδαφος για την απαλλαγή από τον υπολογισμό αντιστοιχιών (σχήμα 2.1-Δ). Το αποτέλεσμα αυτής της έρευνας ήταν η ανάπτυξη μίας τριλογίας μεθόδων, αντλούσα την αποτελεσματικότητά της από πρώτες αρχές, το πεδίο της κρυσταλλογραφίας, και το πεδίο της μηχανικής όρασης. Κάθε μία από τις τρεις μεθόδους εκτελείται σε πραγματικό χρόνο και εμφανίζει μεγαλύτερη ευρωστία και μικρότερα σφάλματα στάσης από τις μεθόδους της βιβλιογραφίας.

Το επόμενο και τελευταίο βήμα ήταν το πιο σημαντικό, το λιγότερο τεχνικό, και με τη γενικότερη συμβολή: εάν ο χάρτης αντικατασταθεί με μία δεύτερη φυσική μέτρηση τότε η ευθυγράμμιση μετρήσεων με σαρώσεις χάρτη μετατρέπεται στη γενικότερη μέθοδο ευθυγράμ-

μησης μετρήσεων lidar, η οποία χρησιμοποιείται ως μέσο οδομετρίας (απαραίτητη στα φίλτρα σωματιδίων και Kalman), και βρίσκεται στην καρδιά της επίλυσης του προβλήματος της ταυτόχρονης χαρτογράφησης και παρακολούθησης της στάσης ενός ρομπότ (παρατήρηση III). Το τελευταίο λοιπόν βήμα είναι η ανάπτυξη μίας μεθόδου για την ευθυγράμμιση μετρήσεων 2D lidar που δεν χρησιμοποιεί αντιστοιχίες, που εκτελείται σε πραγματικό χρόνο, και που εμφανίζει μεγαλύτερη ευρωστία στο θόρυβο μέτρησης και μικρότερα σφάλματα ευθυγράμμισης σε σχέση με αντίστοιχες μεθόδους της βιβλιογραφίας.



Σχήμα 2.1: Ο οδικός χάρτης της διατριβής

Κεφάλαιο 3

Επισκόπηση των ερευνητικών περιοχών

3.1 Αυτόνομη Πλοήγηση και ROS

Για να διασχίσει ένα αυτόνομο επίγειο ρομπότ το περιβάλλον του πρέπει να είναι διαθέσιμες μία σειρά από λειτουργίες. Πρώτον, πρέπει να χρησιμοποιηθεί ένας αλγόριθμος επιλογής στόχου, που αναλαμβάνει το έργο του υπολογισμού/δημιουργίας ενός στόχου για να φτάσει το ρομπότ. Αυτός ο στόχος είναι συνήθως η επιθυμητή τελική στάση του ρομπότ, είτε στον $2D$ χώρο ($[x, y, \theta]$), είτε στον N -διάστατο χώρο, εάν το ρομπότ είναι, για παράδειγμα, αρθρωτό. Στη συνέχεια πρέπει να χρησιμοποιηθεί ένας αλγόριθμος ικανός να λάβει ως είσοδο τη ρομποτική αντίληψη για τον περιβάλλοντα κόσμο (συνήθως ένας $2D$ ή $3D$ χάρτης), καθώς και την αρχική εκτίμηση για τη στάση του ρομπότ, ώστε να είναι δυνατή η εκτίμηση της τρέχουσας στάσης του ρομπότ ενόσω κινείται.

Έπειτα απαιτείται η ύπαρξη ενός γεωμετρικού μονοπατιού, το οποίο, εάν ακολουθηθεί από το ρομπότ, θα το οδηγήσει από την τρέχουσα στην επιθυμητή του στάση. Αυτό το μονοπάτι παράγεται από έναν αλγόριθμο κατασκευής μονοπατιών, του οποίου το αντικείμενο είναι το σύνολο του στατικού χάρτη. Τέλος, ένας ελεγκτής κίνησης είναι απαραίτητος, ο οποίος θεωρεί ως εισόδους του το μονοπάτι και την *τοπική αντίληψη* του ρομπότ, και παράγει ταχύτητες κινητήρων, έτσι ώστε να οδηγηθεί το ρομπότ στο να ακολουθήσει το μονοπάτι. Ταυτόχρονα, είναι αρμοδιότητα του το ρομπότ να πλοηγείται με την μεγαλύτερη δυνατή ασφάλεια (υποθέτοντας ότι το ρομπότ θα πρέπει να αποφεύγει συγχρούσεις με στατικά ή κινούμενα αντικεί-

μενα, αν και αυτό δεν συμβαίνει πάντοτε [GPG17]). Με τον όρο τοπική αντίληψη εννοούνται τα ακατέργαστα αισθητηριακά δεδομένα που αντιπροσωπεύουν τις δυναμικές μεταβολές του περιβάλλοντος, σε αντιδιαστολή με τον στατικό συνολικό χάρτη.

3.1.1 Αλγόριθμοι κατασκευής μονοπατιών

Όσον αφορά στους αλγορίθμους κατασκευής μονοπατιών, αυτοί συνήθως ανήκουν σε μία από τις έξι κύριες αλγοριθμικές οικογένειες: *Γράφοι Ορατότητας (Visibility Graphs)*, *Τεχνικές βασισμένες στη σκελετοποίηση, Πιθανοτικοί οδικοί χάρτες (Probabilistic Roadmaps)*, *Τυχαία δένδρα ταχείας εξερεύνησης (Rapidly exploring Random Trees)*, *Πλέγματα Κατάστασης (State Lattices)*, και *Συναρτήσεις πλοήγησης*.

Οι γράφοι ορατότητας ήταν μία από τις πρώτες μεθόδους σχεδιασμού μονοπατιών. Προτάθηκαν από τους Losano-Perez και Wesley το 1979 [LW79], περιγράφοντας μια μέθοδο δημιουργίας μονοπατιών κυρτά περιβάλλοντα, όπου τα εμπόδια μετασχηματίζονται έτσι ώστε να απεικονίζουν περιοχές που δεν μπορούν να διασχιστούν λόγω των γεωμετρικών περιορισμών του αποτυπώματος του ρομπότ. Στη συνέχεια δημιουργείται ο γράφος ορατότητας, ο οποίος περιέχει τα μετασχηματισμένα εμπόδια ως κόμβους. Τέλος, εφαρμόζεται ένας αλγόριθμος αναζήτησης για τη δημιουργία της τελικής διαδρομής. Όπως περιγράφεται στα [Gho07] και [GG13], οι γράφοι ορατότητας υποφέρουν από υψηλές απαιτήσεις σε υπολογιστικές πόρους και από την πολυπλοκότητα των γεωμετρικών περιορισμών των εμποδίων. Ως εκ τούτου, έχουν προταθεί άλλες προσεγγίσεις για την αντιμετώπιση αυτών των ζητημάτων [KKK11].

Μεταξύ των τεχνικών σκελετοποίησης, το γενικευμένο διάγραμμα Voronoi (GVD) είναι ο κυρίαρχος αλγόριθμος που χρησιμοποιείται προκειμένου να παραχθεί ένας σκελετός του ελεύθερου χώρου στον οποίο κινείται το ρομπότ, δηλαδή μονοπατιών πλοήγησης των οποίων τα σημεία ισαπέχουν από τα εμπόδια του περιβάλλοντος. Παραδείγματα χρήσης του GVD σε αλγορίθμους κατασκευής μονοπατιών αναφέρονται στο [BG07], όπου το GVD χρησιμοποιείται για τη δημιουργία μιας ομαλής διαδρομής που εάν ακολουθηθεί κατά γράμμα δεν επιφέρει συγκρούσεις του ρομπότ με το περιβάλλον του, στο [Gar+06], όπου το GVD ακολουθείται από την εφαρμογή της μεθόδου Fast Marching για την ελαχιστοποίηση του μήκους της διαδρομής, και στην [Ok+13], η οποία εισάγει τα πεδία αβεβαιότητας Voronoi (VUFs), και που συνδυάζει το GVD για την κατασκευή μονοπατιών και έναν ελεγκτή κίνησης για την πλοήγηση του οχήματος.

Μια από τις πιο διάσημες οικογένειες αλγορίθμων σχεδιασμού διαδρομής είναι αυτή των Πιθανοτικών Οδικών Χαρτών (PRM). Η ιδέα τους είναι απλή: πραγματοποιείται δειγματοληψία στον ελεύθερο χώρο του χάρτη του περιβάλλοντος και δημιουργείται ένας γράφος του οποίου οι ακμές είναι ασφαλείς. Στη συνέχεια, εφαρμόζεται ένας αλγόριθμος αναζήτησης στον γράφο για την εύρεση της διαδρομής ελάχιστου κόστους. Τα PRM εισήχθησαν αρχικά από τους Kavraki κ.α. στο [Kav+96], ωστόσο έχουν προταθεί διάφορες τροποποιήσεις, όπως στο [NSL] όπου οι έννοιες του γράφου ορατότητας χρησιμοποιούνται για την ενίσχυση του PRM, στο [BK00] που εισάγει τον αλγόριθμο Lazy PRM που δυναμικά ελαχιστοποιεί τις συνδέσεις του γράφου, και στο [HSZ] όπου προτείνεται ο υβριδικός PRM, δηλαδή ένας συνδυασμός διαφορετικών PRM ανάλογα με τις ιδιότητες του περιβάλλοντος.

Μια άλλη μεθοδολογία συνολικού σχεδιασμού μονοπατιών είναι αυτή των Τυχαίων Δένδρων Ταχείας Εξερεύνησης (RRT), που προτάθηκε αρχικά από τον La Valle το 1998 [Lav98]. Τα RRTs δημιουργούν επαναληπτικά δενδροειδείς δομές, ξεκινώντας από έναν κόμβο-ρίζα και τερματίζουν όταν ένα φύλλο φτάσει στον επιθυμητό στόχο. Υπάρχουν διάφορες τροποποιήσεις, όπως, μεταξύ άλλων, το Execution Extended RRT (ERRT) [BV], αμφίδρομα RRTs [MWS07], RRT* [KF10], Cell-RRT [GFC09], και T-RRT [JCS10].

Ο σχεδιασμός μονοπατιών σε πλέγματα καταστάσεων εμφανίστηκε το 2005 από τους Pivtoraiko και Kelly [Mik05]. Ένα πλέγμα καταστάσεων είναι ένας χώρος αναζήτησης που περιλαμβάνει ένα διακριτοποιημένο σύνολο από τις προσβάσιμες καταστάσεις ενός συστήματος (του κινηματικού μοντέλου του ρομπότ), το οποίο μπορεί να κωδικοποιήσει εφικτά μονοπάτια. Τα μονοπάτια σχηματίζονται από τοπικές συνδέσεις μεταξύ καταστάσεων που συμμορφώνονται σε κινηματικούς περιορισμούς και περιορισμούς του περιβάλλοντος χώρου. Μετά την ανάπτυξη του χώρου αναζήτησης δημιουργείται ένα σύνολο χωρικά διακριτών μονοπατιών. Αυτός ο χώρος κωδικοποιεί τις τοπικές συνδέσεις και εξαλείφει τους πλεονασμούς έτσι ώστε ένα ερώτημα σχεδιασμού στο συνδεδεμένο γράφημα αναζήτησης να μπορεί να εκτελεστεί με αποδοτικό τρόπο.

Οι συναρτήσεις πλοήγησης είναι μια ειδική κατηγορία συναρτήσεων δυναμικού [Lat91] για την πλοήγηση ρομπότ κινητής βάσης. Η συναρτήσεις δυναμικού προϋποθέτουν έναν γνωστό χάρτη, και αποδίδουν μια τιμή δυναμικού σε κάθε σημείο του (σε χάρτες που βασίζονται σε ορόσημα) ή σε κάθε κελί πλέγματος (σε χάρτες που βασίζονται σε πλέγμα), με κάθε ένα να έχει υψηλότερη τιμή δυναμικού όσο μικρότερη είναι η απόστασή του από ένα εμπόδιο.

Αντίθετα, στη στάση του στόχου αποδίδεται χαμηλή τιμή δυναμικού. Η αρχή του δυναμικού πεδίου είναι ελκυστική λόγω της απλότητας και της κομψότητάς της, ωστόσο, αναφέρονται ένας αριθμός ορισμένων ουσιαστικών ελλείψεων [KB][GC00], όπως η ευαισθησία του ρομπότ στο να παγιδεύεται σε τοπικά ελάχιστα και η αύξηση των ταλαντώσεων όταν ένα ρομπότ πλησιάζει εμπόδια ή στενά περάσματα. Οι συναρτήσεις πλοήγησης προσπαθούν να ξεπεράσουν αυτά τα προβλήματα: είναι συναρτήσεις (α) για τις οποίες το δυναμικό του στόχου λαμβάνει μηδενική τιμή ή, αν ο στόχος είναι απρόσιτος, άπειρη τιμή, και (β) που έχουν μονοτονική κλίση, δηλαδή δεν έχουν τοπικά ελάχιστα εκτός από το στόχο. Ωστόσο, η μέθοδος της συνάρτησης πλοήγησης μπορεί παρουσιάσει αργή σύγκλιση, ιδίως όταν το περιβάλλον του ρομπότ περιλαμβάνει στενά περάσματα, και επομένως απαιτεί προσαρμοσμένη ρύθμιση [Kow19]. Επιπλέον, στην χώρους υψηλών διαστάσεων, όπου τα σχήματα του ρομπότ ή των εμποδίων είναι πολύπλοκα, το υπολογιστικό κόστος αυξάνεται απότομα [Par16].

3.1.2 Ελεγκτές κίνησης

Αφού δημιουργηθεί το μονοπάτι που συνδέει την αρχική στάση του ρομπότ με την επιθυμητή με τη χρήση ενός κατασκευαστή μονοπατιών, ένας ελεγκτής κίνησης πρέπει να χρησιμοποιηθεί προκειμένου το ρομπότ να ακολουθήσει το μονοπάτι στον πραγματικό χώρο και να βεβαιωθεί ότι αποφεύγει τόσο τα στατικά όσο και τα δυναμικά εμπόδια.

Ένας από τους παλαιότερους ελεγκτές κίνησης είναι τα VFH (Ιστογράμματα Διανυσματικού Πεδίου—Vector Field Histograms), που προτάθηκαν το 1991 από τους Borenstein και Koren [BK91]. Τα VFH δημιουργούν ένα πολικό ιστόγραμμα, αποδίδοντας σε κάθε γωνία την πιθανότητα η κατεύθυνση αυτή να είναι κατειλημμένη, σε σχέση με τον προσανατολισμό του ρομπότ. Στη συνέχεια εντοπίζονται επαρκώς μεγάλα ανοίγματα για να μπορεί το ρομπότ να πλοηγηθεί με ασφάλεια μέσα από αυτά, και υπολογίζεται μια συνάρτηση κόστους για κάθε άνοιγμα, και τελικά επιλέγεται αυτό με το μικρότερο κόστος. Βελτιώσεις των VFH είναι τα VFH+, τα οποία ενσωματώνουν τοξοειδείς τοπικές τροχιές, σε αντίθεση με τις ευθείες γραμμές των VFH [UBb], και τα VFH* τα οποία επαληθεύουν ότι μια υποψήφια κατεύθυνση οδηγεί το ρομπότ γύρω από ένα εμπόδιο, χρησιμοποιώντας τον αλγόριθμο A* και τις κατάλληλες συναρτήσεις κόστους και ευρηστικών συναρτήσεων [UBa].

Μια άλλη διάσημη προσέγγιση είναι η DWA (Προσέγγιση Δυναμικού Παραθύρου—Dynamic Window Approach), που προτάθηκε από τους Fox, Burgard, και Thrun [FBT97].

Η DWA δειγματοληπτεί το τοπικό περιβάλλον με πιθανές τροχιές που προκύπτουν άμεσα από το κινηματικό μοντέλο του ρομπότ, υπολογίζοντας ένα κόστος για κάθε δείγμα. Στη συνέχεια το σύνολο ταχυτήτων που μεγιστοποιεί μια αντικειμενική συνάρτηση επιλέγεται για εφαρμογή στους κινητήρες του. Η συνάρτηση αυτή περιλαμβάνει την κατεύθυνση του ρομπότ σε σχέση με τον επιθυμητό στόχο, την απόσταση της τροχιάς του από το πλησιέστερο εμπόδιο, και την προηγούμενη γραμμική ταχύτητα προκειμένου να ληφθεί υπόψη η αδράνεια του σώματος του.

Τα GNT (Δένδρα Πλοήγησης Κενών—Gap Navigation Trees) είναι δένδροειδείς δομές που δημιουργούνται από τρέχουσες μετρήσεις των αισθητήρων του ρομπότ, κωδικοποιώντας διαδρομές από την τρέχουσα θέση του ρομπότ σε οποιοδήποτε σημείο του περιβάλλοντος [TGL05]. Ένα GNT ενημερώνεται καθώς το ρομπότ κινείται και παράγει βέλτιστες διαδρομές εάν το περιβάλλον είναι απλά συνδεδεμένο, υπό την προϋπόθεση ότι τα όρια του περιβάλλοντος είναι ομαλά, αφού το GNT προσπαθεί να εντοπίσει "κενά" στις μετρήσεις των αισθητήρων.

Ένα άλλο σκέλος των ελεγκτών κίνησης ξεκίνησε το 2004 με την προσέγγιση πλοήγησης με διάγραμμα εγγύτητας (Nearness Diagram navigation approach—ND) από τους Minguez και Montano [MM]. Η μεθοδολογία ND παράγει αρχικά δύο διαγράμματα εγγύτητας: το PND (από το κεντρικό σημείο του ρομπότ) και το RND (από τα άκρα του ρομπότ) για την αναπαράσταση των πληροφοριών σχετικά με την εγγύτητα των εμποδίων. Τόσο το PND όσο και το RND αναλύονται περαιτέρω, και ειδικά τμήματα και κενά ασφαλείας υπολογίζονται, με βάση τα οποία το ρομπότ λαμβάνει μια κατάσταση ασφαλείας μεταξύ πέντε διαθέσιμων. Τελικά αξιολογούνται πέντε νόμοι κίνησης σύμφωνα με την κατηγορία ασφαλείας του ρομπότ, με αποτέλεσμα τις κατάλληλες εντολές ταχύτητας τη συγκεκριμένη χρονική στιγμή. Στην [MOM04] η μεθοδολογία ND+ προτείνει την προσθήκη ενός έκτου σεναρίου για την εξισορρόπηση της διαίρεσης των νόμων κίνησης, αυξάνοντας την ομαλότητα των μεταβάσεων μεταξύ ορισμένων από τα σενάρια. Τέλος, η πλοήγηση SND (Smooth Nearness-Diagram) είναι μια εξέλιξη της ND+, όπου ένας μόνο νόμος κίνησης εφαρμόζεται σε όλες τις πιθανές καταστάσεις του γύρω από τα εμπόδια, αφαιρώντας τα απότομα μεταβατικά φαινόμενα όταν το ρομπότ πλοηγείται κοντά σε εμπόδια.

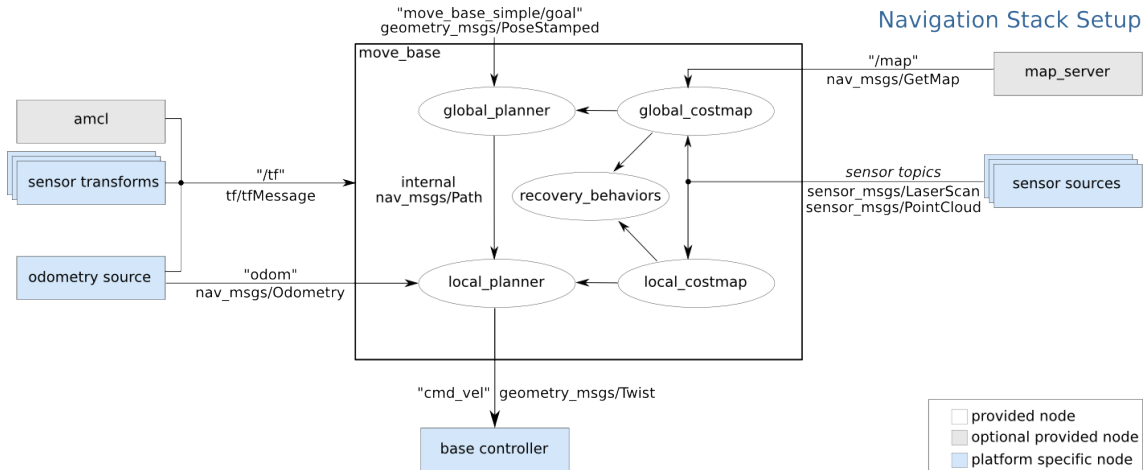
Η προσέγγιση Ελαστικής Ζώνης (Elastic Band) των Quinlan και Khatib [QK] γεφυρώνει το μονοπάτι προς ακολουθήση και τη θεωρία ελέγχου: με βάση ένα συνολικό σχέδιο, ο ελεγκτής κίνησης παράγει μια παραμορφώσιμη διαδρομή σε πραγματικό χρόνο, έτσι ώστε οι

αλλαγές στο περιβάλλον (που ανιχνεύονται από αισθητήρες), οι αβεβαιότητες στις μετρήσεις, το μοντέλο αβεβαιότητας του κινηματικού μοντέλου ή τα κινούμενα αντικείμενα να ενσωματώνονται στον σχεδιασμό και την ακολουθία της διαδρομής του ρομπότ. Για την επίτευξη των στόχων του (ένας από τους οποίους είναι η διατήρηση της σφαιρικής φύσης της προγραμματισμένης διαδρομής), η προσέγγιση βασίζεται σε τεχνητές δυνάμεις: προκαθορισμένες εσωτερικές δυνάμεις συστέλλουν τη διαδρομή και την καθιστούν πιο ομαλή, ενώ εξωτερικές δυνάμεις διατηρούν τον διαχωρισμό από τα εμπόδια. Ωστόσο, η αρχική προσέγγιση δεν ενσωματώνει ρητά χρονικούς ή κινητοδυναμικούς περιορισμούς. Μια επέκταση της αρχικής προσέγγισης, που παραμορφώνει τις τροχιές και όχι τα μονοπάτια, παρουσιάζεται στο [KF07].

Η προσέγγιση Χρονισμένης Ελαστικής Ζώνης (Timed-Elastic Band) [Rös+12], από την άλλη πλευρά, εμπνευσμένη από την ιδέα της μεθόδου της Ελαστικής Ζώνης, λαμβάνει υπόψη τόσο τους χρονικούς όσο και τους κινηματοδυναμικούς περιορισμούς. Η αρχική προσέγγιση παρέχει σε πραγματικό χρόνο τον προγραμματισμό της τροχιάς για ρομπότ με διαφορεική κίνηση. Μιμούμενη έναν ελεγκτή πρόβλεψης μέσω μοντέλου (Model Predictive Controller), αναδιαμορφώνει το σχεδιασμό της τροχιάς και τον υπολογισμό ταχυτήτων σε ένα πρόβλημα βελτιστοποίησης που υπόκειται σε κινηματοδυναμικούς περιορισμούς, περιορισμούς αποφυγής εμποδίων, ενώ ταυτόχρονα λαμβάνει υπόψη και το συνολικό χρόνο πλοήγησης. Μια επέκταση της προσέγγισης Χρονισμένης Ελαστικής Ζώνης παρουσιάζεται στο [RHB17], όπου παρουσιάζεται μια πιο γενική διατύπωση, επεκτείνοντάς την στην υποστήριξη κινηματικών μοντέλων τύπου ackerman, καθιστώντας δυνατή την οπισθοπορεία, και συνεπώς δυνατό το αυτόνομο παρκαρισμα ρομπότ με κινηματικά μοντέλα τύπου αυτοκινήτων.

3.1.3 Αυτόνομη πλοήγηση στο ROS

Το ROS έχει γίνει ευρέως δημοφιλές στην κοινότητα της ρομποτικής καθώς προσφέρει μια πληθώρα δωρεάν πακέτων από ερευνητικές ομάδες όλου του κόσμου. Προσφέρει δυνατότητες πλοήγησης με τη μορφή *στοιβών*, δηλαδή συλλογών πακέτων λογισμικού. Το πιο γνωστό και συχνά χρησιμοποιούμενο από αυτά είναι το `move_base`, το οποίο εσωτερικά χρησιμοποιεί έναν αλγόριθμο κατασκευής μονοπατιών και έναν ελεγκτή κίνησης για να φέρει εις πέρας το έργο της αυτόνομους πλοήγησης ρομπότ κινητής βάσης. Στην εσωτερική ονοματολογία του ROS αυτά τα δύο συστατικά ονομάζονται αντίστοιχα *global planner* και *local planner*. Το `move_base` παίρνει πληροφορίες από την οδομετρία, μετρήσεις από αισθητήρες, και μια



Σχήμα 3.1: Εποπτική άποψη του λογισμικού αυτόνομης πλοήγησης move_base. Πηγή: http://wiki.ros.org/move_base

στάση-στόχο, και εξάγει ασφαλείς εντολές ταχύτητας προς είσοδο στους κινητήρες κινητής βάσης.¹ Ένα υψηλού επιπέδου διάγραμμα αρχιτεκτονικής του απεικονίζεται στο σχήμα 3.1.

Κοιτώντας το move_base ως ένα μαύρο κουτί, αυτό εξάγει ταχύτητες κινητήρων, και προϋποθέτει την ύπαρξη των ακόλουθων εισόδων, είτε σε μορφή μηνυμάτων ROS (δομημένα δεδομένα) ή μετασχηματισμών (σχέσεις μεταξύ συστημάτων αναφοράς):

- Την εκτιμώμενη στάση του ρομπότ με τη μορφή ενός μετασχηματισμού μεταξύ του οδομετρικού συστήματος αναφοράς του ρομπότ και του συστήματος αναφοράς του χάρτη, που παρέχεται εδώ από το amcl² πακέτο ROS. AMCL σημαίνει Adaptive Monte Carlo Localisation [amcl] και είναι επί του παρόντος ο de facto αλγόριθμος παρακολούθησης της στάσης ενός ρομπότ μέσα στον χώρο στο οικοσύστημα ROS
- Τους μετασχηματισμούς μεταξύ των συστημάτων αναφοράς των αισθητήρων και των τελικών στοιχείων (effectors) του ρομπότ χρησιμοποιώντας τον μηχανισμό μετασχηματισμού του ROS (tf)
- Πληροφορίες οδομετρίας και (προαιρετικά) τον χάρτη του περιβάλλοντος
- Δεδομένα απόστασης είτε από έναν αισθητήρα αποστάσεων τύπου lidar, είτε από έναν αισθητήρα που μπορεί να εξάγει νέφη σημείων σε τρεις διαστάσεις, όπως μια κάμερα βάθους

¹<http://wiki.ros.org/navigation>

²<http://wiki.ros.org/amcl>

Επιπλέον, το ROS προσφέρει μια αναπαράσταση του περιβάλλοντος που ονομάζεται *costmap*, που περιλαμβάνει πληροφορίες σχετικά με τη δυνατότητα διέλευσης του ρομπότ μέσα στο περιβάλλον του και μέσα στον χάρτη αυτού, με βάση το αποτύπωμα του ρομπότ και τα στατικά και δυναμικά εμπόδια (υποθέτοντας ότι είναι πιο δαπανηρό να κινηθεί κοντά σε εμπόδια). Όταν θεωρείται ως λευκό κουτί, το *move_base* περιλαμβάνει:

- Έναν *global costmap*, που αναπαριστά το κόστος διέλευσης πλησίον των στατικών εμποδίων του χάρτη
- Έναν *local costmap* ο οποίος δημιουργείται και ανανεώνεται σε πραγματικό χρόνο στην άμεση γειτονιά του ρομπότ, και που βασίζεται στις μετρήσεις των εξωδεκτικών αισθητήρων προκειμένου να αντιμετωπίσει τα στατικά και δυναμικά εμπόδια του πραγματικού περιβάλλοντός του
- Έναν *global planner*, ο οποίος λαμβάνει ως είσοδο μία στάση-στόχο, και τον *global costmap*, και παράγει το γεωμετρικό μονοπάτι που ενώνει την αρχική στάση του ρομπότ με την επιθυμητή
- Έναν *local planner*, ο οποίος δέχεται ως είσοδο το ως άνω μονοπάτι και τον *local costmap* και υπολογίζει εντολές ταχύτητας
- Μια ενότητα που ονομάζεται *recovery_behaviours* που δέχεται και τους δύο χάρτες κόστους ως είσοδο, εντοπίζει τότε το ρομπότ δεν μπορεί να προχωρήσει με την επιθυμητή ταχύτητα, και εφαρμόζει προκαθορισμένα σύνολα κινήσεων, με στόχο την "απεγκλωβισμό" του ρομπότ. Αυτές οι ενέργειες ενεργοποιούνται κάθε φορά που (α) το ρομπότ γίνεται αντιληπτό ότι ταλαντώνεται, (β) ένα σχέδιο κίνησης δεν έχει ληφθεί για κάποιο χρονικό διάστημα, ή (γ) ο ελεγκτής κίνησης έχει αποτύχει να εξάγει έγκυρες εντολές ταχύτητας για ένα καθορισμένο χρονικό διάστημα. Συγκεκριμένα, το *move_base* εφαρμόζει δύο είδη ανάκτησης του ελέγχου του ρομπότ: (α) μια περιστροφή 360 μοιρών που στοχεύει στην εκκαθάριση του τοπικού χάρτη κόστους από τυχόν ψευδείς μετρήσεις (ψευδώς θετικά αντιληπτά εμπόδια) και (β) μια επαναφορά του χάρτη κόστους που καθαρίζει την στοίβα πλοήγησης επαναφέροντάς τον στον στατικό χάρτη έξω τα όρια μιας δεδομένης ακτίνας μακριά από το ρομπότ³. Η τελευταία χρ-

³http://wiki.ros.org/clear_costmap_recovery

σιμοποιείται συνήθως πολλαπλές φορές και σε έναν ιεραρχικό τρόπο, ξεκινώντας από κάποια ακτίνα εντός του ημιπλάτους του τοπικού χάρτη κόστους και προχωρώντας πιο κοντά στο ίχνος του ρομπότ. Εάν το ρομπότ εξακολουθεί να θεωρείται παγιδευμένο μετά την εκτέλεση όλων των προκαθορισμένων συμπεριφορές αποκατάστασης η πλοήγηση διακόπτεται και το ρομπότ σταματά την κίνησή του, τουλάχιστον μέχρι να δοθεί ένας νέος στόχος.

3.2 smsm

3.3 sm

3.4 Global localisation

3.5 fmt in robotics

Κεφάλαιο 4

Συμβολές και Διάρθρωση της διατριβής

4.1 Συμβολές της διατριβής

4.2 Διάρθρωση

Μέρος II

Προβλήματα—Λύσεις— Συμβολές

Μέρος ΙΙΙ

Συμπεράσματα

Αναφορές

- [LW79] Tomás Lozano-Pérez και Michael A. Wesley. “An algorithm for planning collision-free paths among polyhedral obstacles”. Στο: *Communications of the ACM* 22.10 (Οκτ. 1979), σσ. 560–570. ISSN: 0001-0782. DOI: 10.1145/359156.359164. URL: <https://dl.acm.org/doi/10.1145/359156.359164>.
- [May79] Peter S. Maybeck. “Stochastic models, estimation, and control - Introduction”. Στο: *Stochastic models, estimation, and control*. Τόμ. 1. 1979.
- [BK91] J. Borenstein και Y. Koren. “The vector field histogram-fast obstacle avoidance for mobile robots”. Στο: *IEEE Transactions on Robotics and Automation* 7.3 (Ιούν. 1991), σσ. 278–288. ISSN: 1042296X. DOI: 10.1109/70.88137. URL: <http://ieeexplore.ieee.org/document/88137/>.
- [Lat91] Jean-Claude Latombe. *Robot Motion Planning*. 1991. ISBN: 978-1-4615-4022-9.
- [Kav+96] L.E. Kavraki κ.ά. “Probabilistic roadmaps for path planning in high-dimensional configuration spaces”. Στο: *IEEE Transactions on Robotics and Automation* 12.4 (1996), σσ. 566–580. ISSN: 1042296X. DOI: 10.1109/70.508439. URL: <http://ieeexplore.ieee.org/document/508439/>.
- [FBT97] D. Fox, W. Burgard και S. Thrun. “The dynamic window approach to collision avoidance”. Στο: *IEEE Robotics & Automation Magazine* 4.1 (Μαρ. 1997), σσ. 23–33. ISSN: 10709932. DOI: 10.1109/100.580977. URL: <http://ieeexplore.ieee.org/document/580977/>.
- [Lav98] S. Lavalle. *Rapidly-exploring random trees : a new tool for path planning*. Αδημοσίευτη ερευνητική εργασία. 1998, σ. 4.

- [BK00] R. Bohlin και L.E. Kavraki. “Path planning using lazy PRM”. Στο: *Proceedings 2000 ICRA. Millennium Conference. IEEE International Conference on Robotics and Automation. Symposia Proceedings (Cat. No.00CH37065)*. IEEE, 2000, 521–528 vol.1. ISBN: 0-7803-5886-4. DOI: 10.1109/ROBOT.2000.844107. URL: <http://ieeexplore.ieee.org/document/844107/>.
- [GC00] S.S. Ge και Y.J. Cui. “New potential functions for mobile robot path planning”. Στο: *IEEE Transactions on Robotics and Automation* 16.5 (2000), σσ. 615–620. ISSN: 1042296X. DOI: 10.1109/70.880813. URL: <http://ieeexplore.ieee.org/document/880813/>.
- [Gus+02] Fredrik Gustafsson κ.ά. “Particle filters for positioning, navigation, and tracking”. Στο: *IEEE Transactions on Signal Processing* 50.2 (2002). ISSN: 1053587X. DOI: 10.1109/78.978396.
- [Lac+02] Simon Lacroix κ.ά. “Autonomous Rover Navigation on Unknown Terrains: Functions and Integration”. Στο: *The International Journal of Robotics Research* 21.10-11 (Οκτ. 2002), σσ. 917–942. ISSN: 0278-3649. DOI: 10.1177/0278364902021010841. URL: <http://journals.sagepub.com/doi/10.1177/0278364902021010841>.
- [Thr02] Sebastian Thrun. “Particle Filters in Robotics”. Στο: *Smithsonian* 1.4 (2002). ISSN: 00222275.
- [MOM04] J. Minguez, J. Osuna και L. Montano. “A ”divide and conquer” strategy based on situations to achieve reactive collision avoidance in troublesome scenarios”. Στο: *IEEE International Conference on Robotics and Automation, 2004. Proceedings. ICRA '04. 2004*. IEEE, 2004, 3855–3862 Vol.4. ISBN: 0-7803-8232-3. DOI: 10.1109/ROBOT.2004.1308869. URL: <http://ieeexplore.ieee.org/document/1308869/>.
- [Mik05] Alonzo Kelly Mikhail Pivtoraiko. “Efficient constrained path planning via search in state lattices”. Στο: *Proceedings of 8th International Symposium on Artificial Intelligence, Robotics and Automation in Space*. 2005.
- [TBF05] Sebastian Thrun, Wolfram Burgard και Dieter Fox. *Probabilistic robotics*. Cambridge, Mass.: MIT Press, 2005. ISBN: 9780262201629. URL: [http://www.amazon.de/gp/product/0262201623/102-8479661-9831324?v=glance%](http://www.amazon.de/gp/product/0262201623/102-8479661-9831324?v=glance%26pf_rd_p=102-8479661-9831324)

7B%5C%7Dn=283155%7B%5C%7Dn=507846%7B%5C%7Ds=books%7B%5C%7Dv=glance.

- [TGL05] Benjamín Tovar, Luis Guilamo και Steven M. LaValle. “Gap Navigation Trees: Minimal Representation for Visibility-based Tasks”. Στο: Οκτ. 2005, σσ. 425–440. DOI: 10.1007/10991541_29. URL: <http://link.springer.com/10.1007/10991541%7B%5C%7Dn=283155%7B%5C%7Dn=507846%7B%5C%7Ds=books%7B%5C%7Dv=glance>.
- [Gar+06] Santiago Garrido κ.ά. “Path Planning for Mobile Robot Navigation using Voronoi Diagram and Fast Marching”. Στο: *2006 IEEE/RSJ International Conference on Intelligent Robots and Systems*. IEEE, Οκτ. 2006, σσ. 2376–2381. ISBN: 1-4244-0258-1. DOI: 10.1109/IR0S.2006.282649. URL: <http://ieeexplore.ieee.org/document/4058742/>.
- [BG07] Priyadarshi Bhattacharya και Marina L. Gavrilova. “Voronoi diagram in optimal path planning”. Στο: *4th International Symposium on Voronoi Diagrams in Science and Engineering (ISVD 2007)*. IEEE, Ιούλ. 2007, σσ. 38–47. ISBN: 0-7695-2869-4. DOI: 10.1109/ISVD.2007.43. URL: <http://ieeexplore.ieee.org/document/4276103/>.
- [Gho07] Subir Kumar Ghosh. *Visibility Algorithms in the Plane*. Cambridge: Cambridge University Press, 2007. ISBN: 9780511543340. DOI: 10.1017/CB09780511543340. URL: <https://www.cambridge.org/core/product/identifier/9780511543340/type/book>.
- [KF07] Hanna Kurniawati και Thierry Fraichard. “From path to trajectory deformation”. Στο: *IEEE International Conference on Intelligent Robots and Systems*. IEEE, Οκτ. 2007, σσ. 159–164. ISBN: 1424409128. DOI: 10.1109/IR0S.2007.4399235. URL: <http://ieeexplore.ieee.org/document/4399235/>.
- [LSK07] Henry. G. Liddell, Robert Scott και Α. Κωνσταντινίδου. *Επιτομή του μεγάλου λεξικού της ελληνικής γλώσσας*. 2007.
- [MWS07] Sean R. Martin, Steve E. Wright και John W. Sheppard. “Offline and Online Evolutionary Bi-Directional RRT Algorithms for Efficient Re-Planning in Dynamic Environments”. Στο: *2007 IEEE International Conference on Automation*

- Science and Engineering*. IEEE, Σεπτ. 2007, σσ. 1131–1136. ISBN: 978-1-4244-1153-5. DOI: 10.1109/COASE.2007.4341761. URL: <http://ieeexplore.ieee.org/document/4341761/>.
- [MMM08] Luis Montesano, Javier Minguez και Luis Montano. “Modeling dynamic scenarios for local sensor-based motion planning”. Στο: *Autonomous Robots* 25.3 (Οκτ. 2008), σσ. 231–251. ISSN: 0929-5593. DOI: 10.1007/s10514-008-9092-9. URL: <http://link.springer.com/10.1007/s10514-008-9092-9>.
- [NH08] J. W. Nicholson και A. J. Healey. “The present state of Autonomous Underwater Vehicle (AUV) applications and technologies”. Στο: *Marine Technology Society Journal* 42.1 (2008), σσ. 44–51. ISSN: 00253324. DOI: 10.4031/002533208786861272.
- [GFC09] Julien Guitton, Jean-Loup Farges και Raja Chatila. “Cell-RRT: Decomposing the environment for better plan”. Στο: *2009 IEEE/RSJ International Conference on Intelligent Robots and Systems*. IEEE, Οκτ. 2009, σσ. 5776–5781. ISBN: 978-1-4244-3803-7. DOI: 10.1109/IR0S.2009.5354106. URL: <http://ieeexplore.ieee.org/document/5354106/>.
- [Ng09] Morgan Quigley; Ken Conley; Brian Gerkey; Josh Faust; Tully Foote; Jeremy Leibs; Rob Wheeler; Andrew Y. Ng. *ROS: an open-source Robot Operating System*. 2009.
- [JCS10] Léonard Jaillet, Juan Cortés και T Siméon. “Sampling-Based Path Planning on Configuration-Space Costmaps”. Στο: *IEEE Transactions on Robotics* 26.4 (Αύγ. 2010), σσ. 635–646. ISSN: 1552-3098. DOI: 10.1109/TR0.2010.2049527. URL: <http://ieeexplore.ieee.org/document/5477164/>.
- [KF10] S. Karaman και E. Frazzoli. “Incremental Sampling-based Algorithms for Optimal Motion Planning”. Στο: *Robotics: Science and Systems VI*. Robotics: Science και Systems Foundation, Ιούν. 2010. ISBN: 9780262516815. DOI: 10.15607/RSS.2010.VI.034. URL: <http://www.roboticsproceedings.org/rss06/p34.pdf>.
- [KKK11] Jungtae Kim, Munsang Kim και Daijin Kim. “Variants of the Quantized Visibility Graph for Efficient Path Planning”. Στο: *Advanced Robotics* 25.18

- (Ιαν. 2011), σσ. 2341–2360. ISSN: 0169-1864. DOI: 10.1163/016918611X603855. URL: <https://www.tandfonline.com/doi/full/10.1163/016918611X603855>.
- [NB11] Noboru Noguchi και Oscar C. Barawid. “Robot Farming System Using Multiple Robot Tractors in Japan Agriculture”. Στο: *IFAC Proceedings Volumes* 44.1 (Ιαν. 2011), σσ. 633–637. ISSN: 14746670. DOI: 10.3182/20110828-6-IT-1002.03838. URL: <https://linkinghub.elsevier.com/retrieve/pii/S1474667016436815>.
- [Oli+12] Ayrton Oliver κ.ά. “Using the Kinect as a navigation sensor for mobile robotics”. Στο: *Proceedings of the 27th Conference on Image and Vision Computing New Zealand - IVCNZ '12*. New York, New York, USA: ACM Press, 2012, σσ. 509–514. ISBN: 9781450314732. DOI: 10.1145/2425836.2425932. URL: <http://dl.acm.org/citation.cfm?doid=2425836.2425932>.
- [Rös+12] Christoph Rösmann κ.ά. “Trajectory modification considering dynamic constraints of autonomous robots”. Στο: *7th German Conference on Robotics, ROBOTIK 2012*. 2012, σσ. 74–79.
- [GG13] Subir K. Ghosh και Partha P. Goswami. “Unsolved problems in visibility graphs of points, segments, and polygons”. Στο: *ACM Computing Surveys* 46.2 (Νοέ. 2013), σσ. 1–29. ISSN: 0360-0300. DOI: 10.1145/2543581.2543589. URL: <https://dl.acm.org/doi/10.1145/2543581.2543589>.
- [Ok+13] Kyel Ok κ.ά. “Path planning with uncertainty: Voronoi Uncertainty Fields”. Στο: *2013 IEEE International Conference on Robotics and Automation*. IEEE, Μάι. 2013, σσ. 4596–4601. ISBN: 978-1-4673-5643-5. DOI: 10.1109/ICRA.2013.6631230. URL: <http://ieeexplore.ieee.org/document/6631230/>.
- [BFR14] Jenay M Beer, Arthur D Fisk και Wendy A Rogers. “Toward a Framework for Levels of Robot Autonomy in Human-Robot Interaction”. Στο: *Journal of Human-Robot Interaction* 3.2 (Ιούν. 2014), σ. 74. ISSN: 2163-0364. DOI: 10.5898/JHRI.3.2.Beer. URL: <http://dl.acm.org/citation.cfm?id=3109833>.

- [MDM14] Tanwi Mallick, Partha Pratim Das και Arun Kumar Majumdar. “Characterizations of Noise in Kinect Depth Images: A Review”. Στο: *IEEE Sensors Journal* 14.6 (Ιούν. 2014), σσ. 1731–1740. ISSN: 1530-437X. DOI: 10.1109/JSEN.2014.2309987. URL: <http://ieeexplore.ieee.org/document/6756961/>.
- [DB16] Murat Dikmen και Catherine M. Burns. “Autonomous Driving in the Real World”. Στο: *Proceedings of the 8th International Conference on Automotive User Interfaces and Interactive Vehicular Applications*. New York, NY, USA: ACM, Οκτ. 2016, σσ. 225–228. ISBN: 9781450345330. DOI: 10.1145/3003715.3005465. URL: <https://dl.acm.org/doi/10.1145/3003715.3005465>.
- [Par16] Jong Jin Park. “Graceful Navigation for Mobile Robots in Dynamic and Uncertain Environments”. Διδακτορική διατρ. University of Michigan, Horace H. Rackham School of Graduate Studies, 2016.
- [Vas+16] Goran Vasiljević κ.ά. “High-accuracy vehicle localization for autonomous warehousing”. Στο: *Robotics and Computer-Integrated Manufacturing* 42 (Δεκ. 2016), σσ. 1–16. ISSN: 07365845. DOI: 10.1016/j.rcim.2016.05.001. URL: <https://linkinghub.elsevier.com/retrieve/pii/S0736584515300314>.
- [GPG17] Dhiraj Gandhi, Lerrel Pinto και Abhinav Gupta. “Learning to fly by crashing”. Στο: *2017 IEEE/RSJ International Conference on Intelligent Robots and Systems (IROS)*. IEEE, Σεπτ. 2017, σσ. 3948–3955. ISBN: 978-1-5386-2682-5. DOI: 10.1109/IROS.2017.8206247. URL: <http://ieeexplore.ieee.org/document/8206247/>.
- [RHB17] Christoph Rosmann, Frank Hoffmann και Torsten Bertram. “Kinodynamic trajectory optimization and control for car-like robots”. Στο: *2017 IEEE/RSJ International Conference on Intelligent Robots and Systems (IROS)*. IEEE, Σεπτ. 2017, σσ. 5681–5686. ISBN: 978-1-5386-2682-5. DOI: 10.1109/IROS.2017.8206458. URL: <http://ieeexplore.ieee.org/document/8206458/>.
- [CRP18] Matthew Cooper, John Raquet και Rick Patton. “Range Information Characterization of the Hokuyo UST-20LX LIDAR Sensor”. Στο: *Photonics* 5.2 (Μάρ. 2018), σ. 12. ISSN: 2304-6732. DOI: 10.3390/photonics5020012. URL: <http://www.mdpi.com/2304-6732/5/2/12>.

- [Lim+18] Pedro F. Lima κ.ά. “Experimental validation of model predictive control stability for autonomous driving”. Στο: *Control Engineering Practice* 81 (Δεκ. 2018), σσ. 244–255. ISSN: 09670661. DOI: 10.1016/j.conengprac.2018.09.021. URL: <https://linkinghub.elsevier.com/retrieve/pii/S0967066118305926>.
- [Wil+18] Kenneth H. Williford κ.ά. “The NASA Mars 2020 Rover Mission and the Search for Extraterrestrial Life”. Στο: *From Habitability to Life on Mars*. Elsevier, 2018, σσ. 275–308. DOI: 10.1016/B978-0-12-809935-3.00010-4. URL: <https://linkinghub.elsevier.com/retrieve/pii/B9780128099353000104>.
- [Kow19] Wojciech Kowalczyk. “Rapid Navigation Function Control for Two-Wheeled Mobile Robots”. Στο: *Journal of Intelligent & Robotic Systems* 93.3-4 (Μαρ. 2019), σσ. 687–697. ISSN: 0921-0296. DOI: 10.1007/s10846-018-0879-4. URL: <http://link.springer.com/10.1007/s10846-018-0879-4>.
- [Sim+19] Jesse R. Simpson κ.ά. “An estimation of the future adoption rate of autonomous trucks by freight organizations”. Στο: *Research in Transportation Economics* 76 (Σεπτ. 2019), σ. 100737. ISSN: 07398859. DOI: 10.1016/j.retrec.2019.100737. URL: <https://linkinghub.elsevier.com/retrieve/pii/S0739885919302495>.
- [VKA19] Juan P. Vasconez, George A. Kantor και Fernando A. Auat Cheein. “Human–robot interaction in agriculture: A survey and current challenges”. Στο: *Biosystems Engineering* 179 (Μαρ. 2019), σσ. 35–48. ISSN: 15375110. DOI: 10.1016/j.biosystemseng.2018.12.005. URL: <https://linkinghub.elsevier.com/retrieve/pii/S1537511017309625>.
- [Wan+19] L. Wang κ.ά. “Symbiotic human-robot collaborative assembly”. Στο: *CIRP Annals* 68.2 (2019), σσ. 701–726. ISSN: 00078506. DOI: 10.1016/j.cirp.2019.05.002. URL: <https://linkinghub.elsevier.com/retrieve/pii/S0007850619301593>.
- [KSL20] Zeashan Hameed Khan, Afifa Siddique και Chang Won Lee. “Robotics Utilization for Healthcare Digitization in Global COVID-19 Management”. Στο: *International Journal of Environmental Research and Public Health* 17.11 (Μάι. 2020), σ. 3819. ISSN: 1660-4601. DOI: 10.3390/ijerph17113819. URL: <https://www.mdpi.com/1660-4601/17/11/3819>.

- [Qi+20] Xianyu Qi κ.ά. “Building semantic grid maps for domestic robot navigation”. Στο: *International Journal of Advanced Robotic Systems* 17.1 (Ιαν. 2020). ISSN: 1729-8814. DOI: 10.1177/1729881419900066. URL: <http://journals.sagepub.com/doi/10.1177/1729881419900066>.
- [SCD20] Kyle H. Sheetz, Jake Claflin και Justin B. Dimick. “Trends in the Adoption of Robotic Surgery for Common Surgical Procedures”. Στο: *JAMA Network Open* 3.1 (Ιαν. 2020), e1918911. ISSN: 2574-3805. DOI: 10.1001/jamanetworkopen.2019.18911. URL: <https://jamanetwork.com/journals/jamanetworkopen/fullarticle/2758472>.
- [Che+21] Cheng Chen κ.ά. “The adoption of self-driving delivery robots in last mile logistics”. Στο: *Transportation Research Part E: Logistics and Transportation Review* 146 (Φεβ. 2021), σ. 102214. ISSN: 13665545. DOI: 10.1016/j.tre.2020.102214. URL: <https://linkinghub.elsevier.com/retrieve/pii/S1366554520308565>.
- [Dim+21] Antonis Dimitriou κ.ά. “Autonomous Robots, Drones and Repeaters for Fast, Reliable, Low-Cost RFID Inventorying & Localization”. Στο: *2021 6th International Conference on Smart and Sustainable Technologies (SpliTech)*. IEEE, Σεπτ. 2021, σσ. 01–06. ISBN: 978-953-290-112-2. DOI: 10.23919/SpliTech52315.2021.9566425. URL: <https://ieeexplore.ieee.org/document/9566425/>.
- [PB21] Prabin Kumar Panigrahi και Sukant Kishoro Bisoy. “Localization strategies for autonomous mobile robots: A review”. Στο: *Journal of King Saud University - Computer and Information Sciences* (Μαρ. 2021). ISSN: 13191578. DOI: 10.1016/j.jksuci.2021.02.015. URL: <https://linkinghub.elsevier.com/retrieve/pii/S1319157821000550>.
- [SSC21] Bogdan Ilie Sighencea, Rareş Ion Stanciu και Cătălin Daniel Căleanu. “A Review of Deep Learning-Based Methods for Pedestrian Trajectory Prediction”. Στο: *Sensors* 21.22 (Νοέ. 2021), σ. 7543. ISSN: 1424-8220. DOI: 10.3390/s21227543. URL: <https://www.mdpi.com/1424-8220/21/22/7543>.
- [smp21] smrobotics. 2021. URL: https://smrobotics.com/security_robot.
- [rev22] revfine. 2022. URL: <https://www.revfine.com/hotel-robots/>.

- [BV] J. Bruce και M. Veloso. “Real-time randomized path planning for robot navigation”. Στο: *IEEE/RSJ International Conference on Intelligent Robots and System*. Τόμ. 3. IEEE, σσ. 2383–2388. ISBN: 0-7803-7398-7. DOI: 10.1109/IRDS.2002.1041624. URL: <http://ieeexplore.ieee.org/document/1041624/>.
- [CTT] Chieh-Chih Wang, C. Thorpe και S. Thrun. “Online simultaneous localization and mapping with detection and tracking of moving objects: theory and results from a ground vehicle in crowded urban areas”. Στο: *2003 IEEE International Conference on Robotics and Automation (Cat. No.03CH37422)*. Τόμ. 1. IEEE, σσ. 842–849. ISBN: 0-7803-7736-2. DOI: 10.1109/ROBOT.2003.1241698. URL: <http://ieeexplore.ieee.org/document/1241698/>.
- [Del+] F. Dellaert κ.ά. “Monte Carlo localization for mobile robots”. Στο: *Proceedings 1999 IEEE International Conference on Robotics and Automation (Cat. No.99CH36288C)*. Τόμ. 2. IEEE, σσ. 1322–1328. ISBN: 0-7803-5180-0. DOI: 10.1109/ROBOT.1999.772544. URL: <http://ieeexplore.ieee.org/document/772544/>.
- [GK] J.-S. Gutmann και K. Konolige. “Incremental mapping of large cyclic environments”. Στο: *Proceedings 1999 IEEE International Symposium on Computational Intelligence in Robotics and Automation. CIRA ’99 (Cat. No.99EX375)*. IEEE, σσ. 318–325. ISBN: 0-7803-5806-6. DOI: 10.1109/CIRA.1999.810068. URL: <http://ieeexplore.ieee.org/document/810068/>.
- [Hah+] D. Hahnel κ.ά. “An efficient fastslam algorithm for generating maps of large-scale cyclic environments from raw laser range measurements”. Στο: *Proceedings 2003 IEEE/RSJ International Conference on Intelligent Robots and Systems (IROS 2003) (Cat. No.03CH37453)*. Τόμ. 1. IEEE, σσ. 206–211. ISBN: 0-7803-7860-1. DOI: 10.1109/IROS.2003.1250629. URL: <http://ieeexplore.ieee.org/document/1250629/>.
- [HSZ] D. Hsu, G. Sanchez-Ante και Zheng Sun. “Hybrid PRM Sampling with a Cost-Sensitive Adaptive Strategy”. Στο: *Proceedings of the 2005 IEEE International Conference on Robotics and Automation*. IEEE, σσ. 3874–3880. ISBN: 0-7803-8914-X. DOI: 10.1109/ROBOT.2005.1570712. URL: <http://ieeexplore.ieee.org/document/1570712/>.

- [KB] Y. Koren και J. Borenstein. “Potential field methods and their inherent limitations for mobile robot navigation”. Στο: *Proceedings. 1991 IEEE International Conference on Robotics and Automation*. IEEE Comput. Soc. Press, σσ. 1398–1404. ISBN: 0-8186-2163-X. DOI: 10.1109/ROBOT.1991.131810. URL: <http://ieeexplore.ieee.org/document/131810/>.
- [MM] J. Minguez και L. Montano. “Nearness diagram navigation (ND): a new real time collision avoidance approach”. Στο: *Proceedings. 2000 IEEE/RSJ International Conference on Intelligent Robots and Systems (IROS 2000) (Cat. No.00CH37113)*. Τόμ. 3. IEEE, σσ. 2094–2100. ISBN: 0-7803-6348-5. DOI: 10.1109/IROS.2000.895280. URL: <http://ieeexplore.ieee.org/document/895280/>.
- [MMM] J. Minguez, L. Montesano και L. Montano. “An architecture for sensor-based navigation in realistic dynamic and troublesome scenarios”. Στο: *2004 IEEE/RSJ International Conference on Intelligent Robots and Systems (IROS) (IEEE Cat. No.04CH37566)*. Τόμ. 3. IEEE, σσ. 2750–2756. ISBN: 0-7803-8463-6. DOI: 10.1109/IROS.2004.1389825. URL: <http://ieeexplore.ieee.org/document/1389825/>.
- [NSL] C. Nissoux, T. Simeon και J.-P. Laumond. “Visibility based probabilistic roadmaps”. Στο: *Proceedings 1999 IEEE/RSJ International Conference on Intelligent Robots and Systems. Human and Environment Friendly Robots with High Intelligence and Emotional Quotients (Cat. No.99CH36289)*. Τόμ. 3. IEEE, σσ. 1316–1321. ISBN: 0-7803-5184-3. DOI: 10.1109/IROS.1999.811662. URL: <http://ieeexplore.ieee.org/document/811662/>.
- [QK] S. Quinlan και O. Khatib. “Elastic bands: connecting path planning and control”. Στο: *[1993] Proceedings IEEE International Conference on Robotics and Automation*. IEEE Comput. Soc. Press, σσ. 802–807. ISBN: 0-8186-3450-2. DOI: 10.1109/ROBOT.1993.291936. URL: <http://ieeexplore.ieee.org/document/291936/>.
- [Sch+] D. Schulz κ.ά. “Tracking multiple moving targets with a mobile robot using particle filters and statistical data association”. Στο: *Proceedings 2001 ICRA. IEEE International Conference on Robotics and Automation (Cat. No.01CH37164)*.

- Τόμ. 2. IEEE, σσ. 1665–1670. ISBN: 0-7803-6576-3. DOI: 10.1109/ROBOT.2001.932850. URL: <http://ieeexplore.ieee.org/document/932850/>.
- [staa] statista.com. URL: <https://www.statista.com/statistics/430086/automotive-sales-of-automotive-lidar-systems-worldwide/>.
- [stab] statista.com. URL: <https://www.statista.com/statistics/880147/global-robotic-vehicle-sensors-market-size-by-segment/>.
- [UBa] I. Ulrich και J. Borenstein. “VFH*: local obstacle avoidance with look-ahead verification”. Στο: *Proceedings 2000 ICRA. Millennium Conference. IEEE International Conference on Robotics and Automation. Symposia Proceedings (Cat. No.00CH37065)*. Τόμ. 3. IEEE, σσ. 2505–2511. ISBN: 0-7803-5886-4. DOI: 10.1109/ROBOT.2000.846405. URL: <http://ieeexplore.ieee.org/document/846405/>.
- [UBb] I. Ulrich και J. Borenstein. “VFH+: reliable obstacle avoidance for fast mobile robots”. Στο: *Proceedings. 1998 IEEE International Conference on Robotics and Automation (Cat. No.98CH36146)*. Τόμ. 2. IEEE, σσ. 1572–1577. ISBN: 0-7803-4300-X. DOI: 10.1109/ROBOT.1998.677362. URL: <http://ieeexplore.ieee.org/document/677362/>.